

Leçon N. 1 - 22 Octobre 2025

Alessandro MORBIDELLI

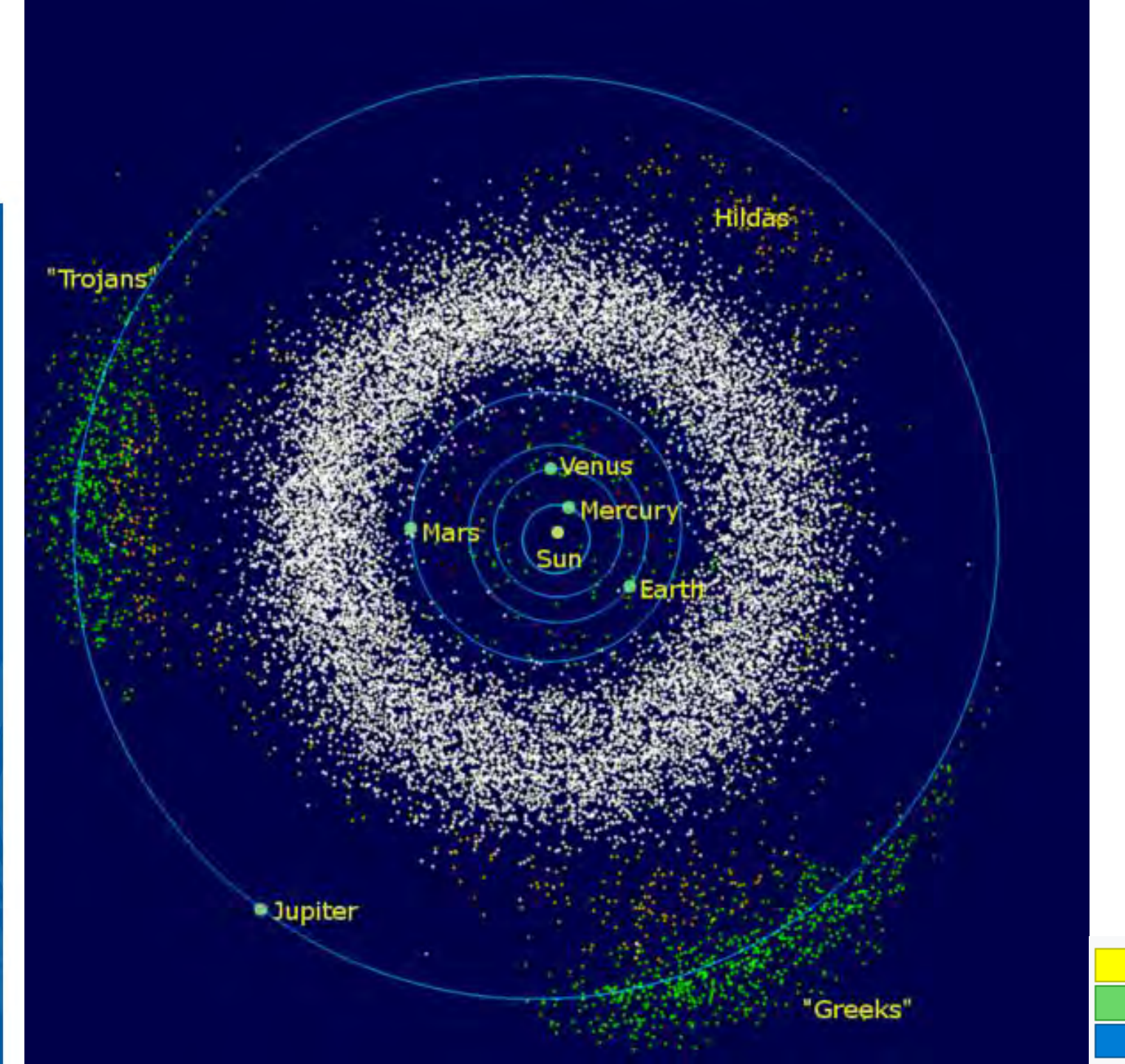
Chaire

Formation planétaire: de la Terre aux exoplanètes

La ceinture des astéroïdes







COLLÈGE DE FRANCE Sun Asteroid belt

Jupiter trojans Hilda asteroids (Hildas)

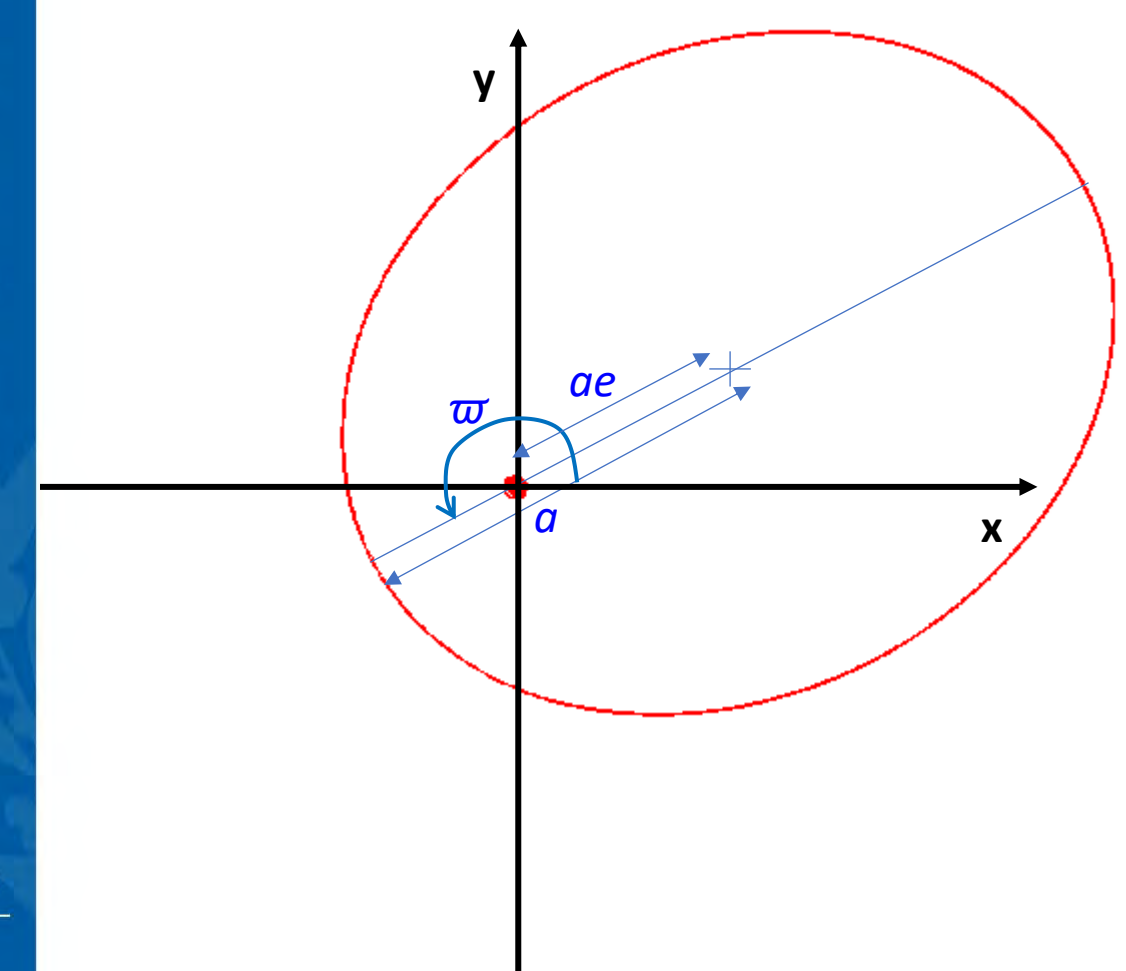
Orbits of planets Near-Earth objects (selection)



a: demi grand axe

e: excentricité

w: longitude du périhélie

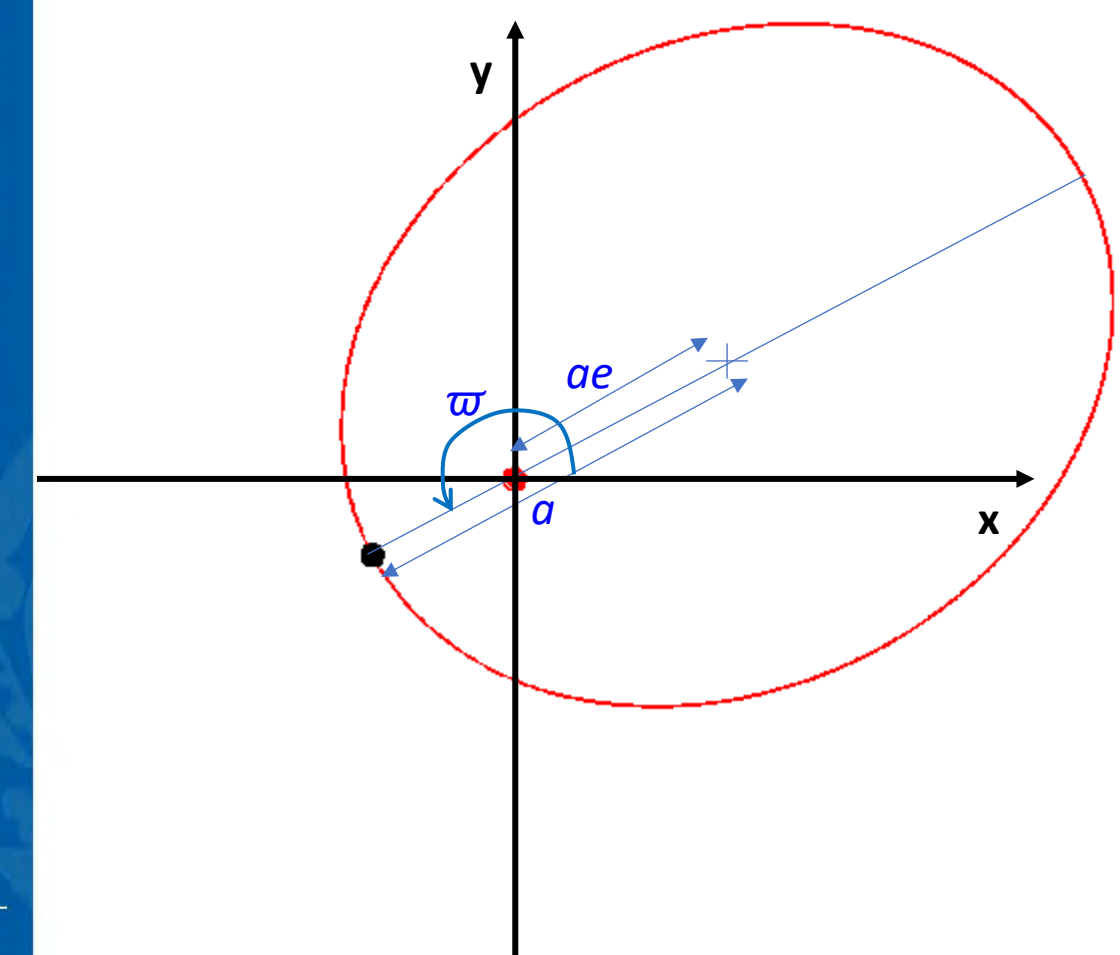




a: demi grand axe

e: excentricité

w: longitude du périhélie

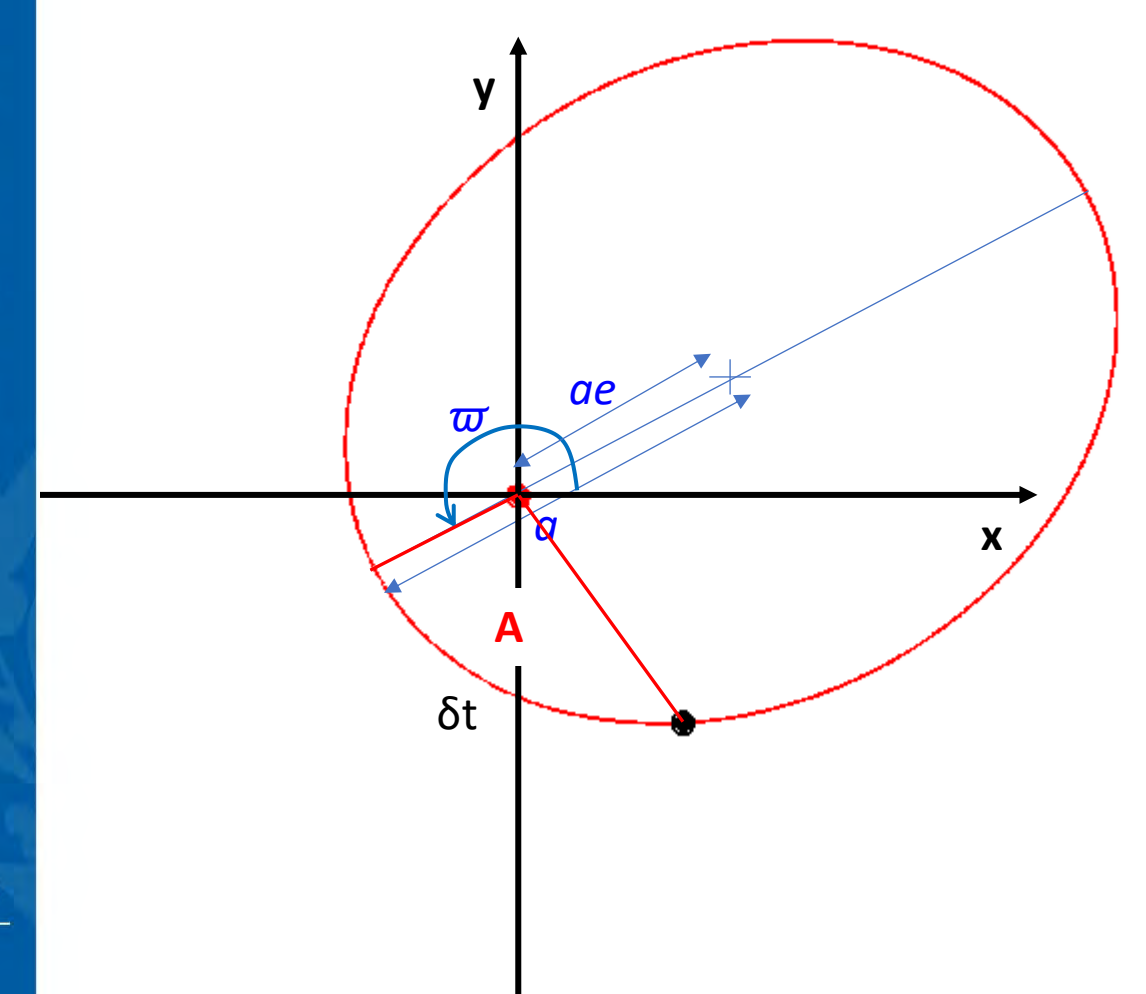




a: demi grand axe

e: excentricité

w: longitude du périhélie





a: demi grand axe

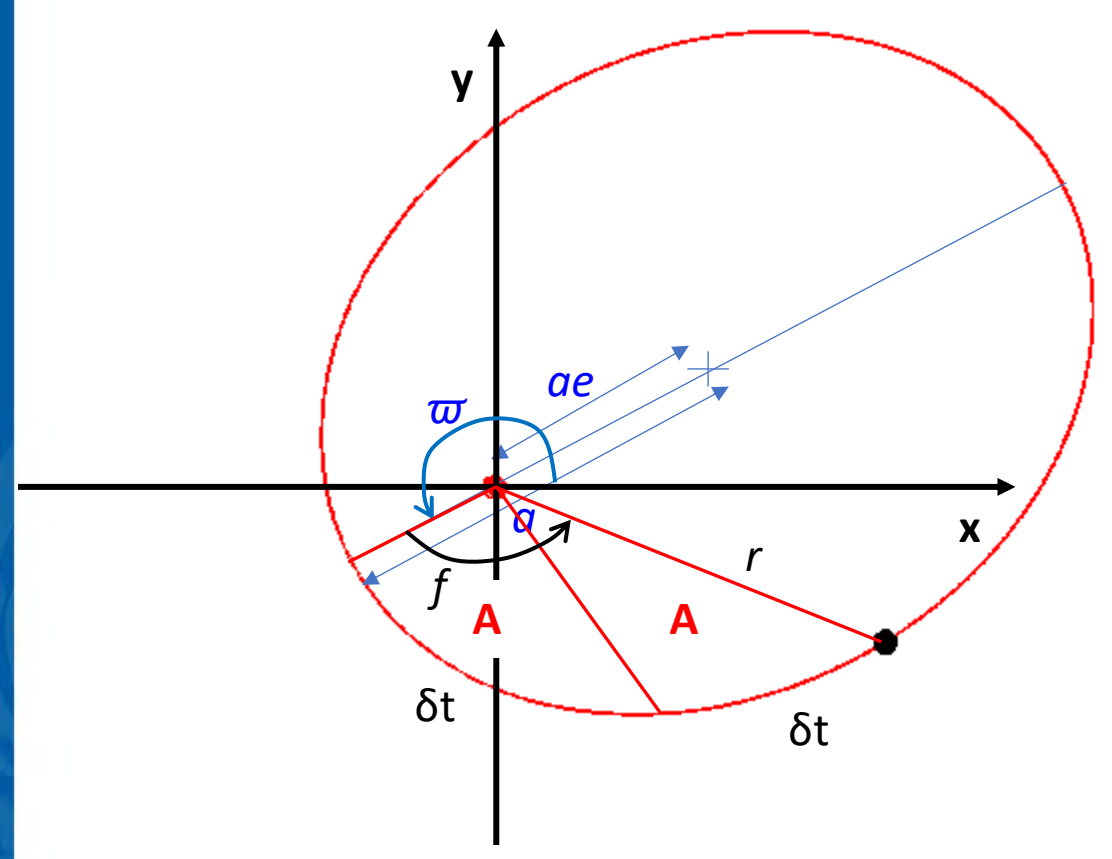
e: excentricité

ω: longitude du périhélie

 $M = 2\pi A(t)/A_{tot}$: anomalie moyenne

$$E - e \sin E = M$$

$$r = a(1 - e\cos E)$$
, $\cos f = \frac{\cos E - e}{1 - e\cos E}$

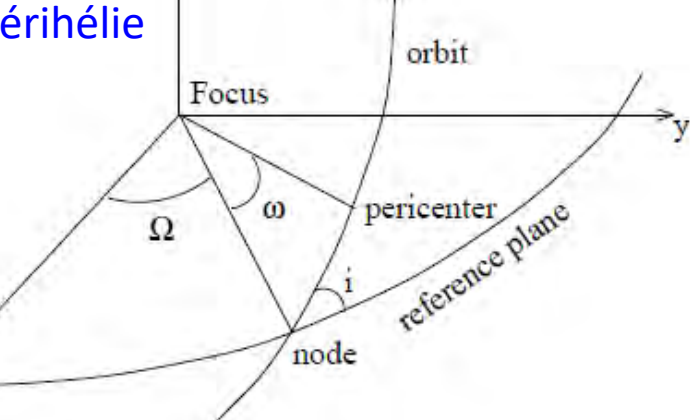


i: inclinaison

 Ω : longitude du nœud

 ω : argument du périhélie

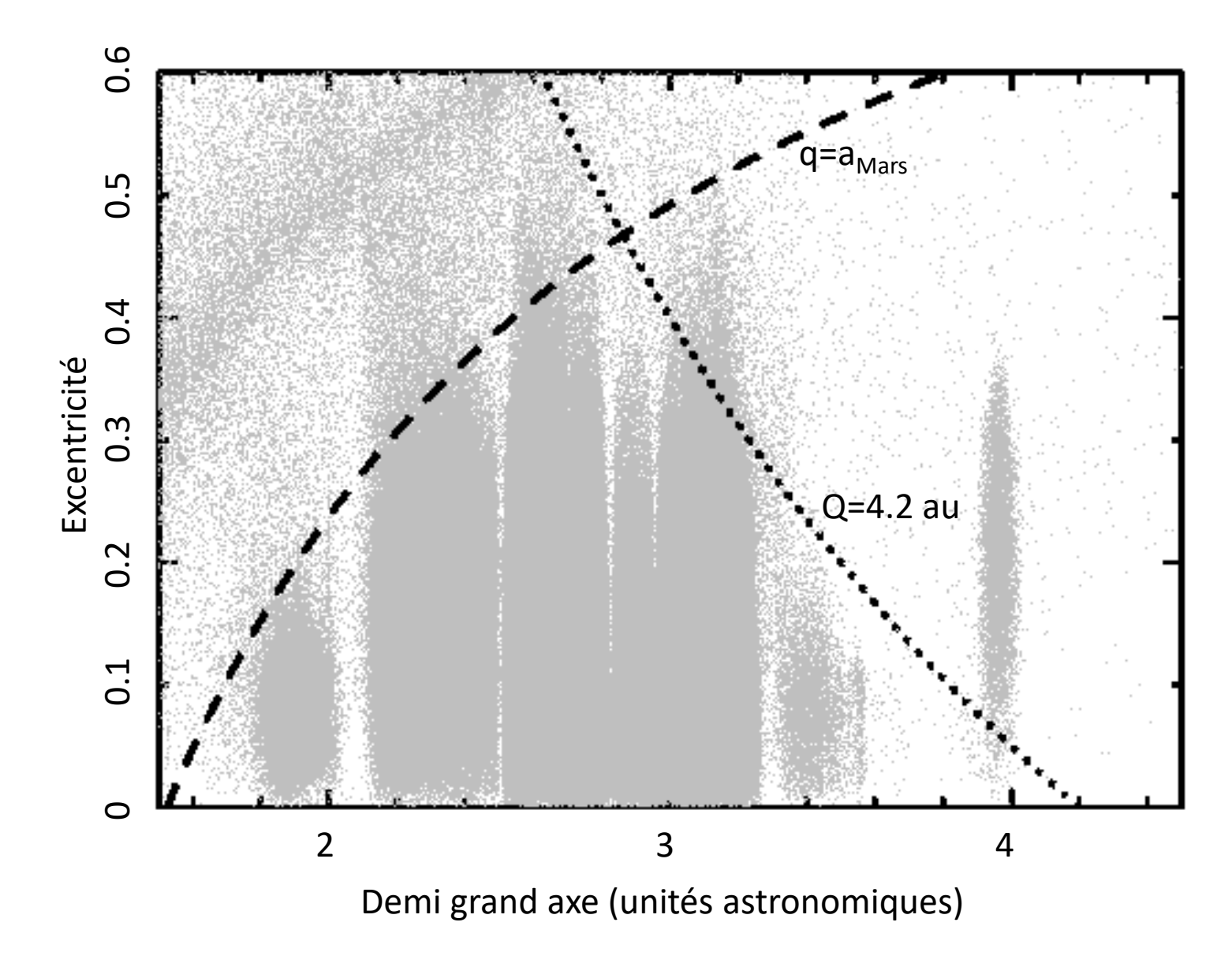
 $\varpi = \Omega + \omega$



La période orbitale dépend uniquement du demi grand axe



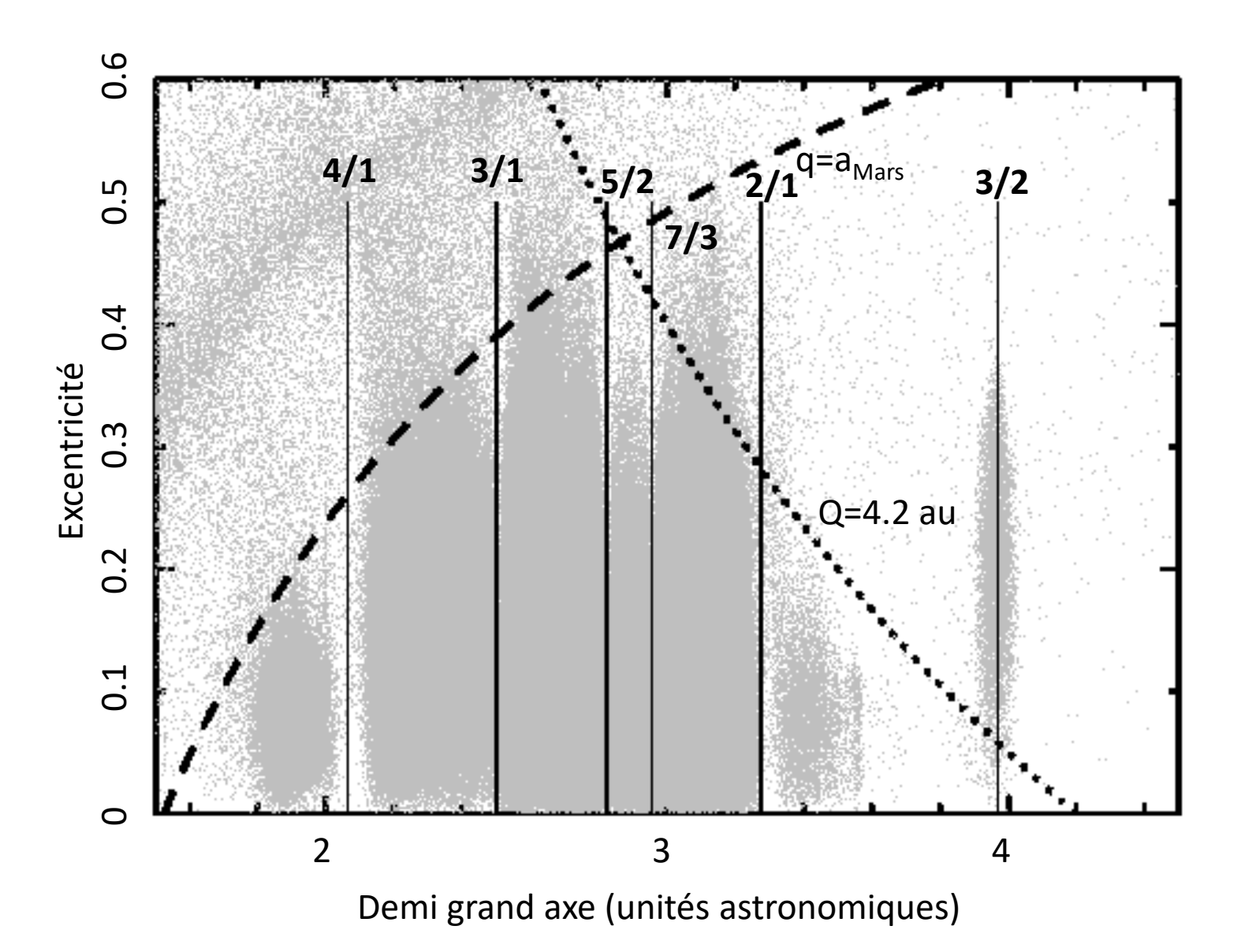
La structure de la ceinture en éléments orbitaux



$$q = a(1 - e)$$
$$Q = a(1 + e)$$

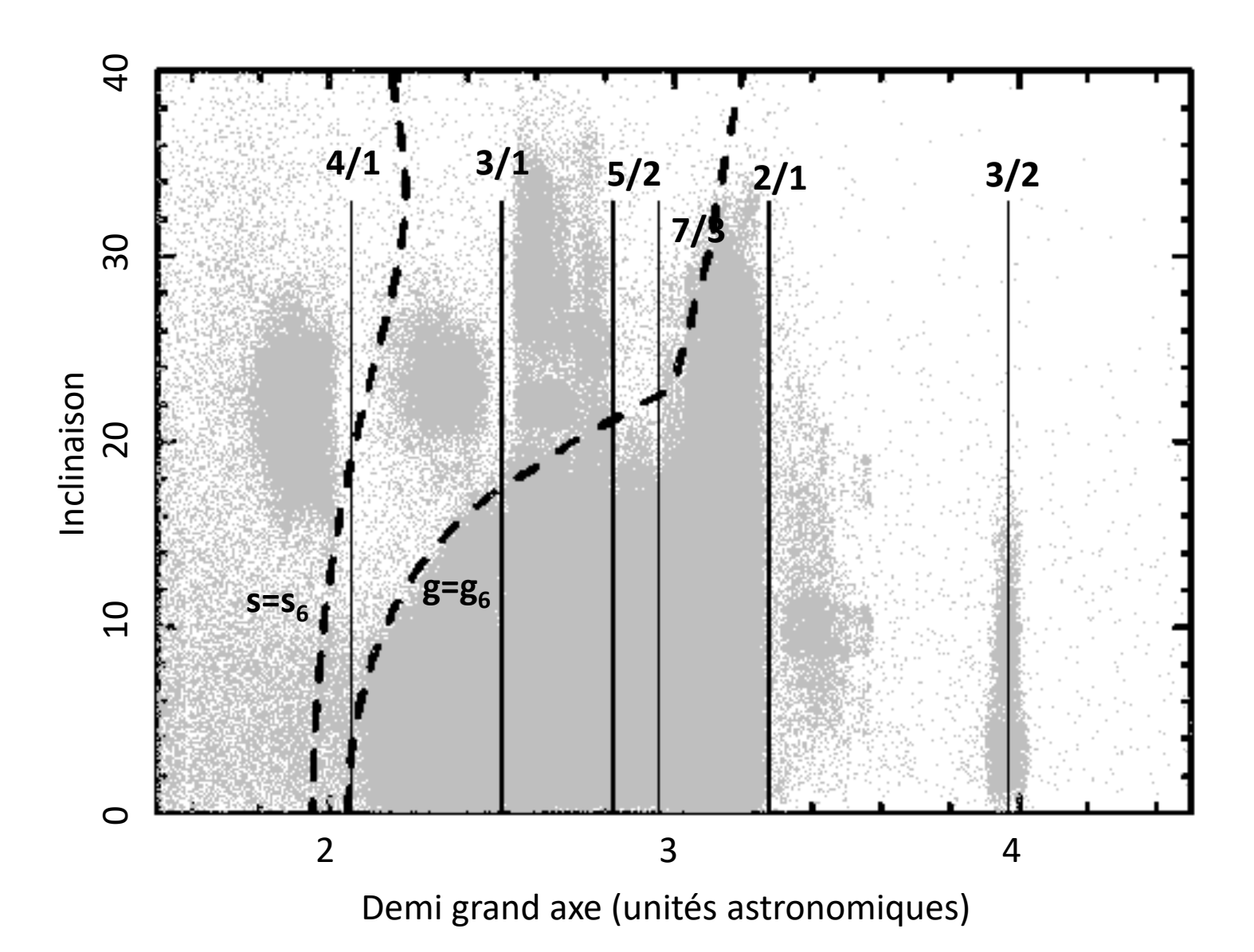


Lacunes de Kirkwood



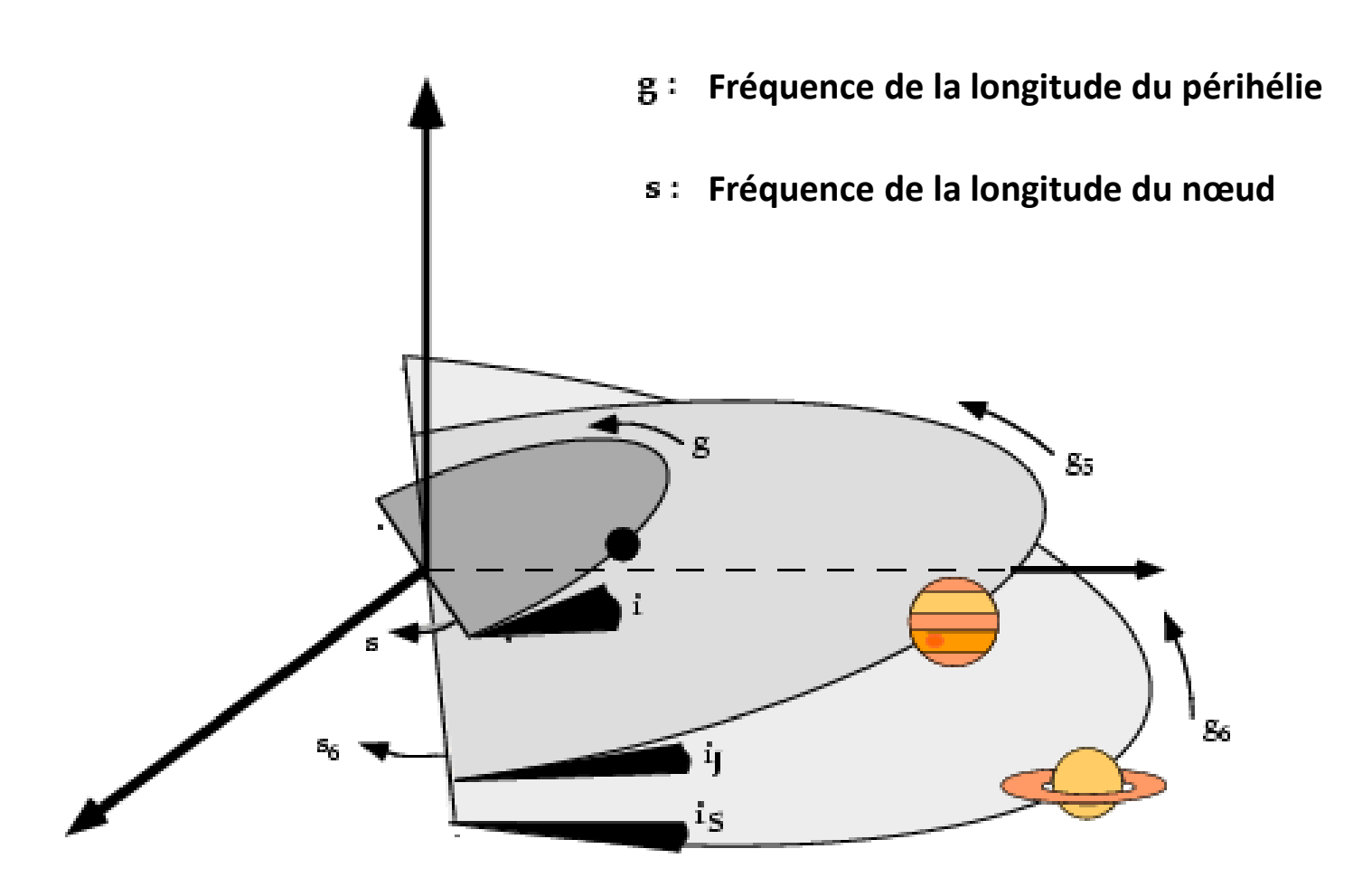


Résonances séculaires





Précession orbitale





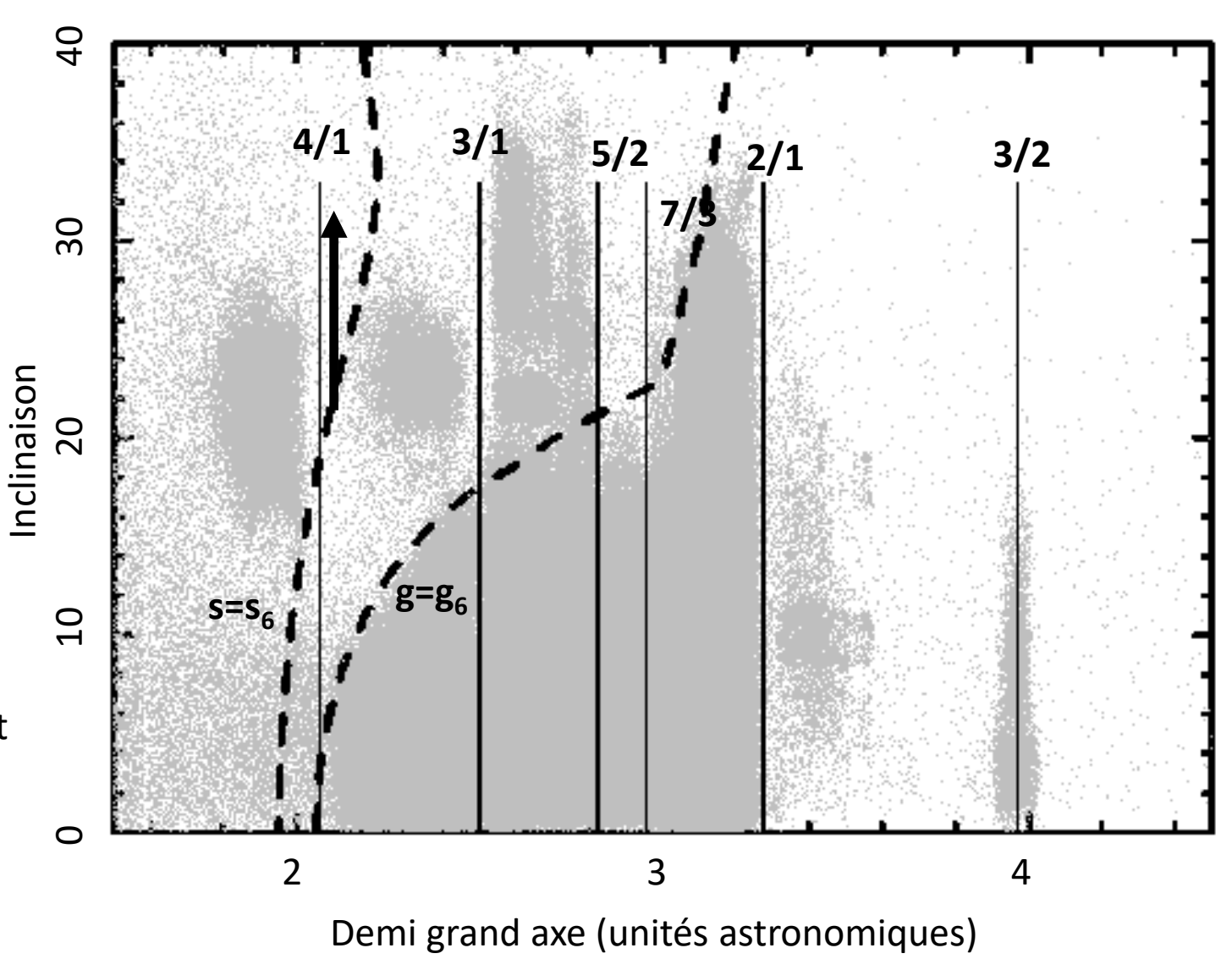


Résonances séculaires et bord interne de la ceinture des astéroïdes

Résonance $g=g_6$: excite l'excentricité de l'orbite de l'astéroïde en le forçant à devenir croiseur de Mars ou de la Terre

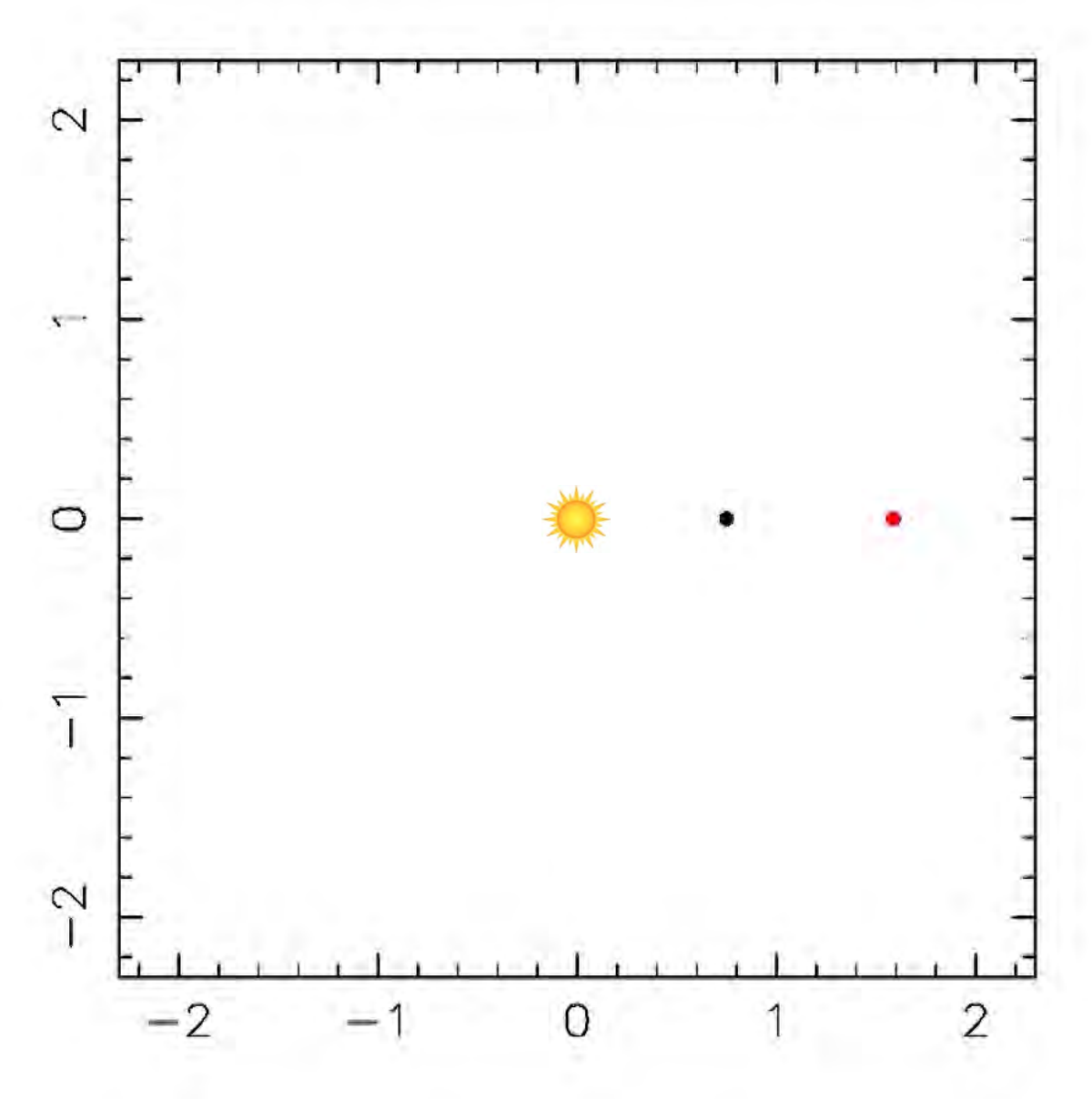
Résonance $s=s_6$: excite l'inclinaison de l'orbite de l'astéroïde.

A très haute inclinaison, l'orbite de l'astéroïde devient instable, excentrique





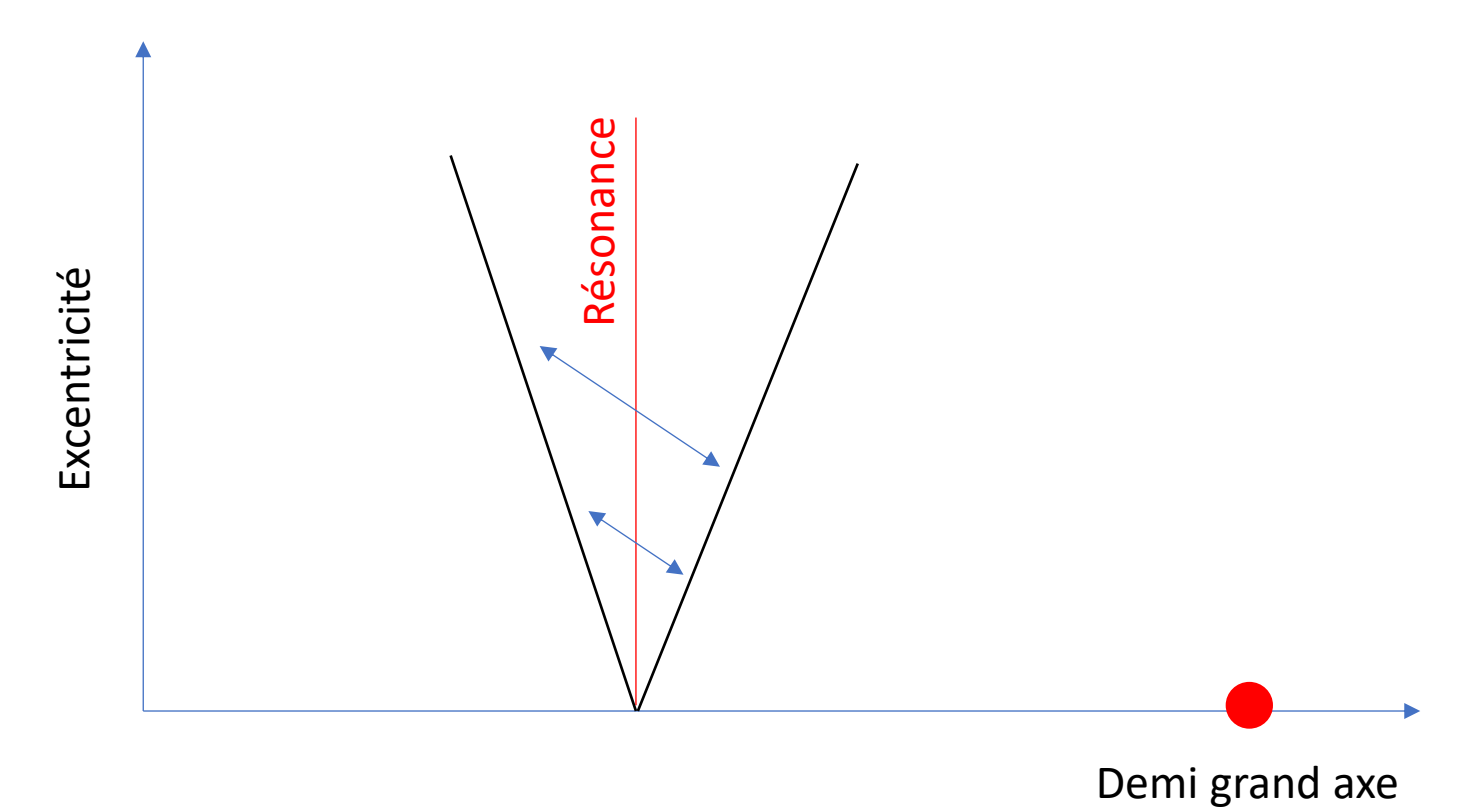
Exemple de résonance (2:1)



- Planète (circulaire)
- Petit corps (elliptique)



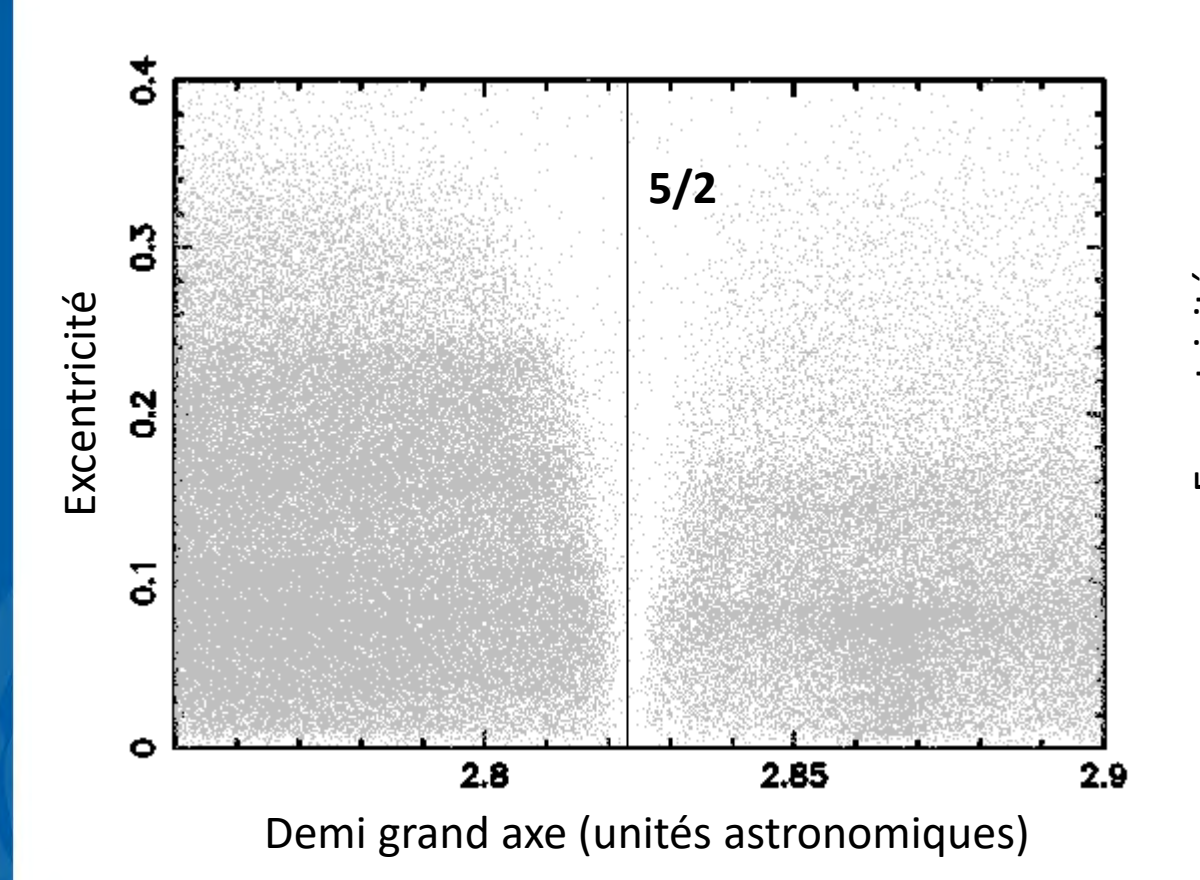
Librations résonnantes

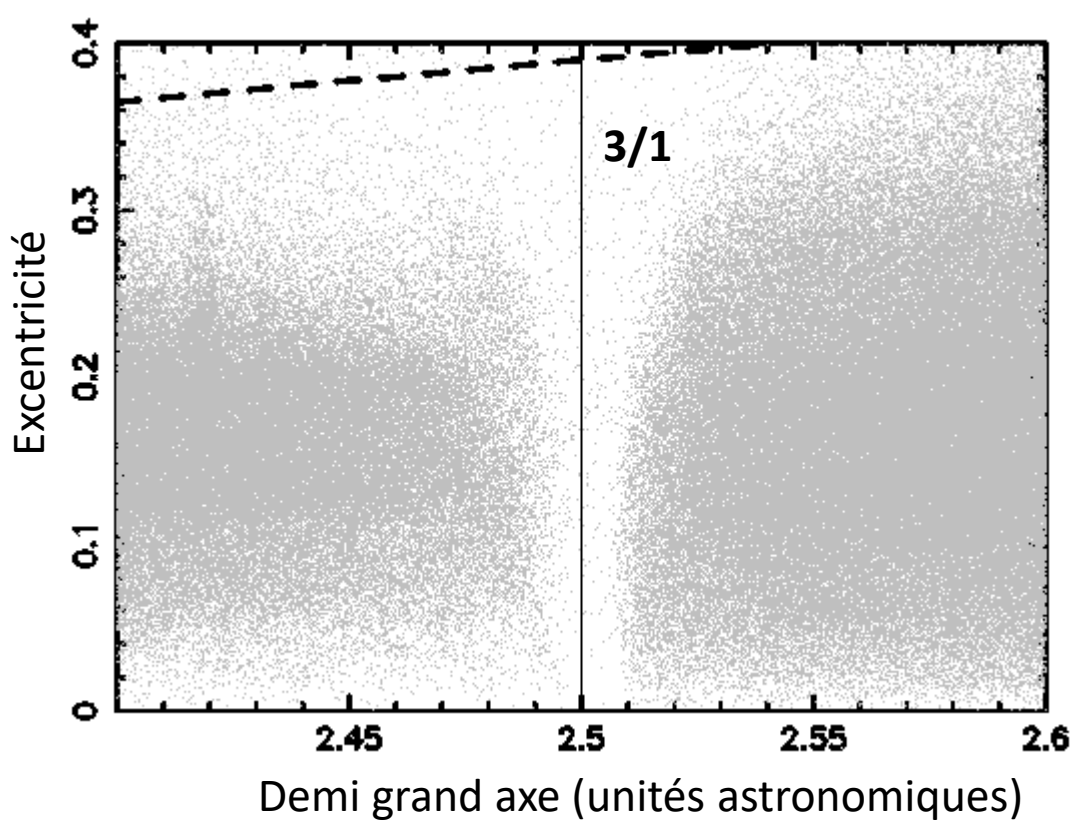


La résonance induit un mouvement oscillatoire autour de sa localisation exacte.



Lacunes de Kirkwood et bords résonnants

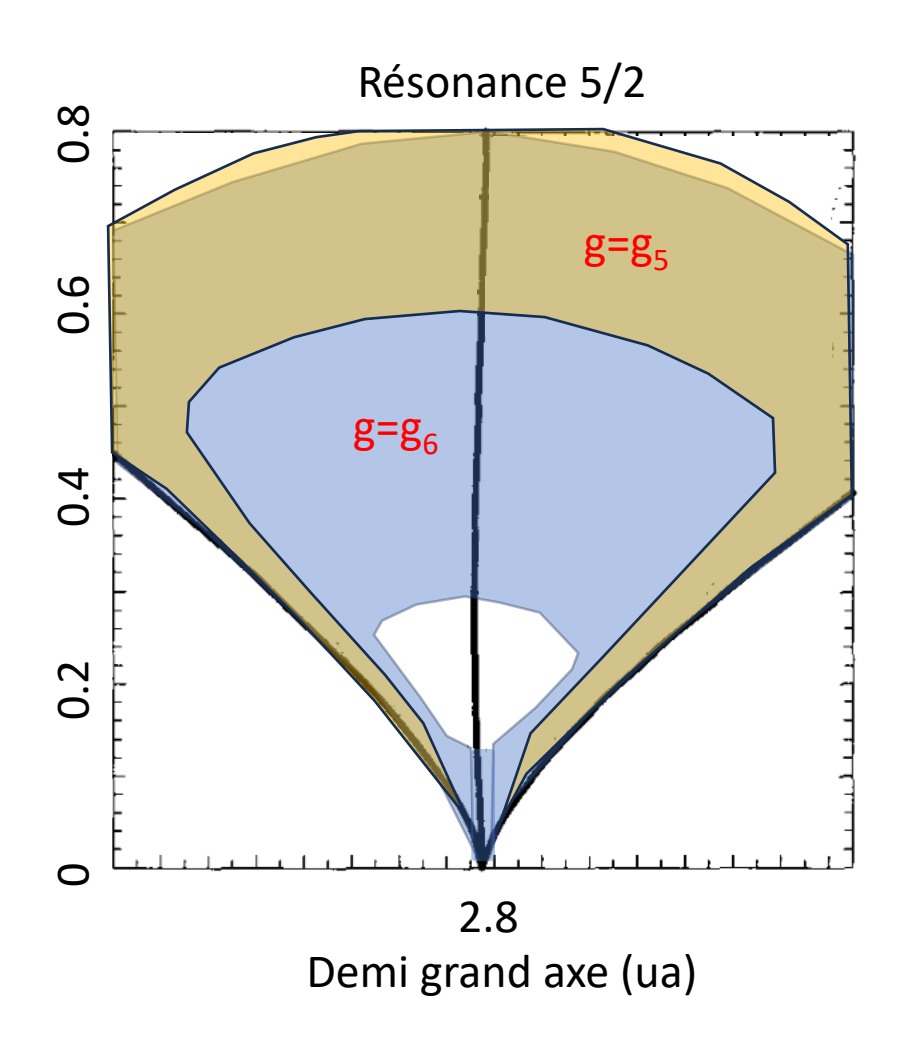


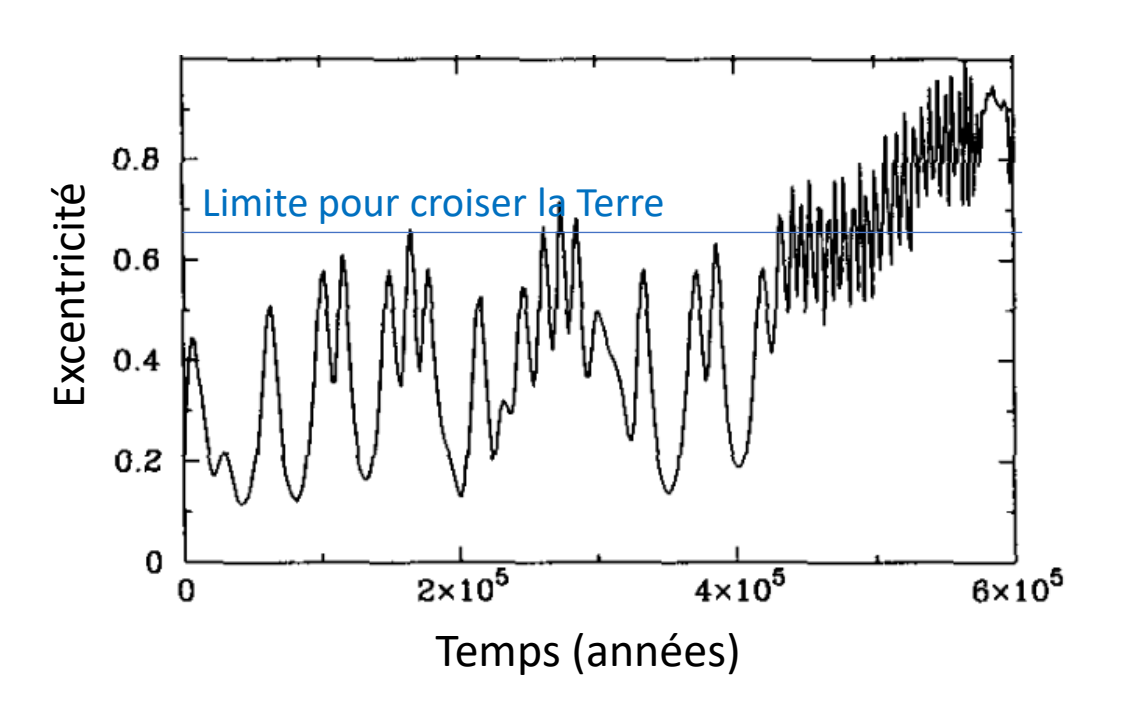




Résonances séculaires dans les résonances de moyen mouvement

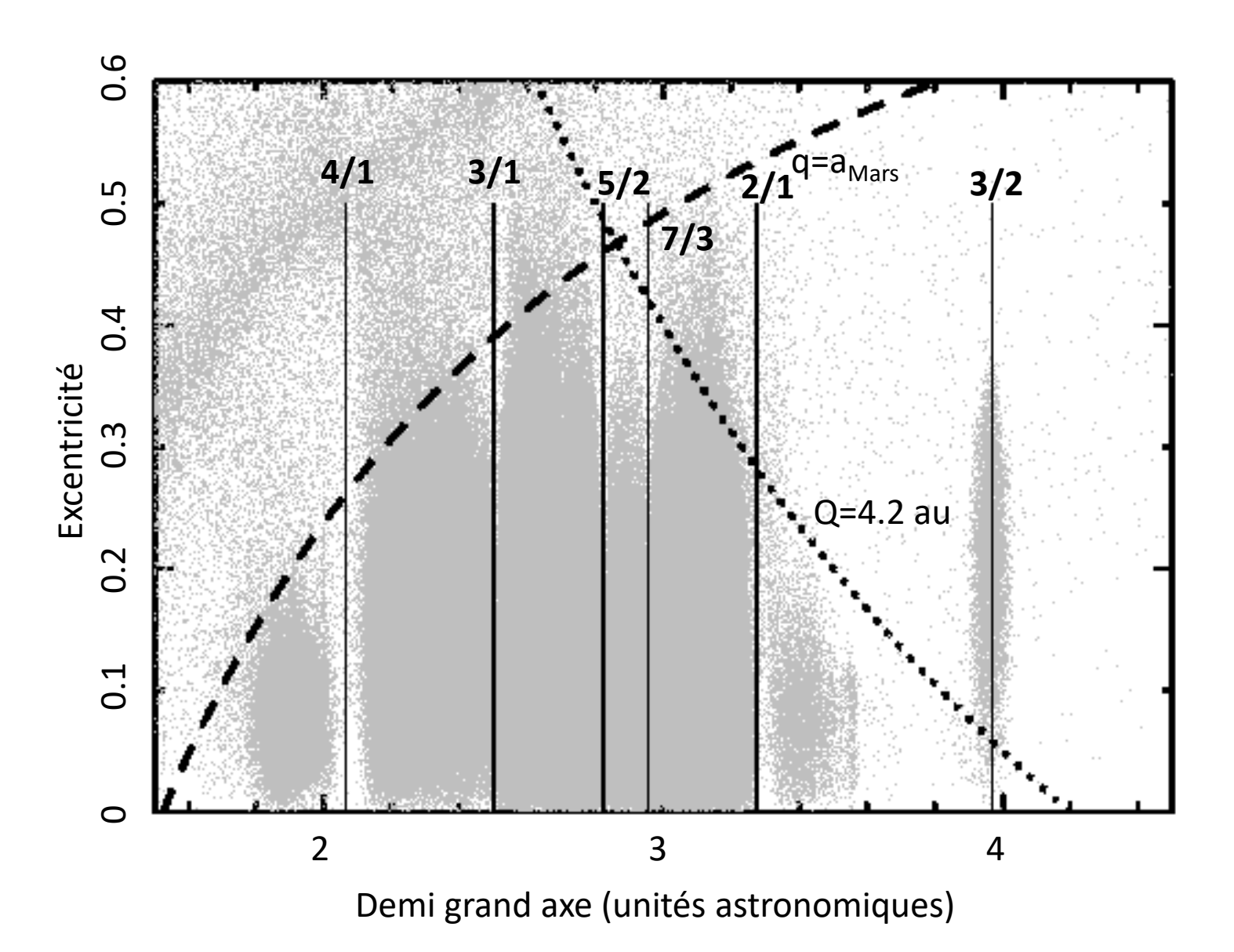
Wisdom, 1982, 1983; Morbidelli and Moons, 1993; Moons and Morbidelli, 1995





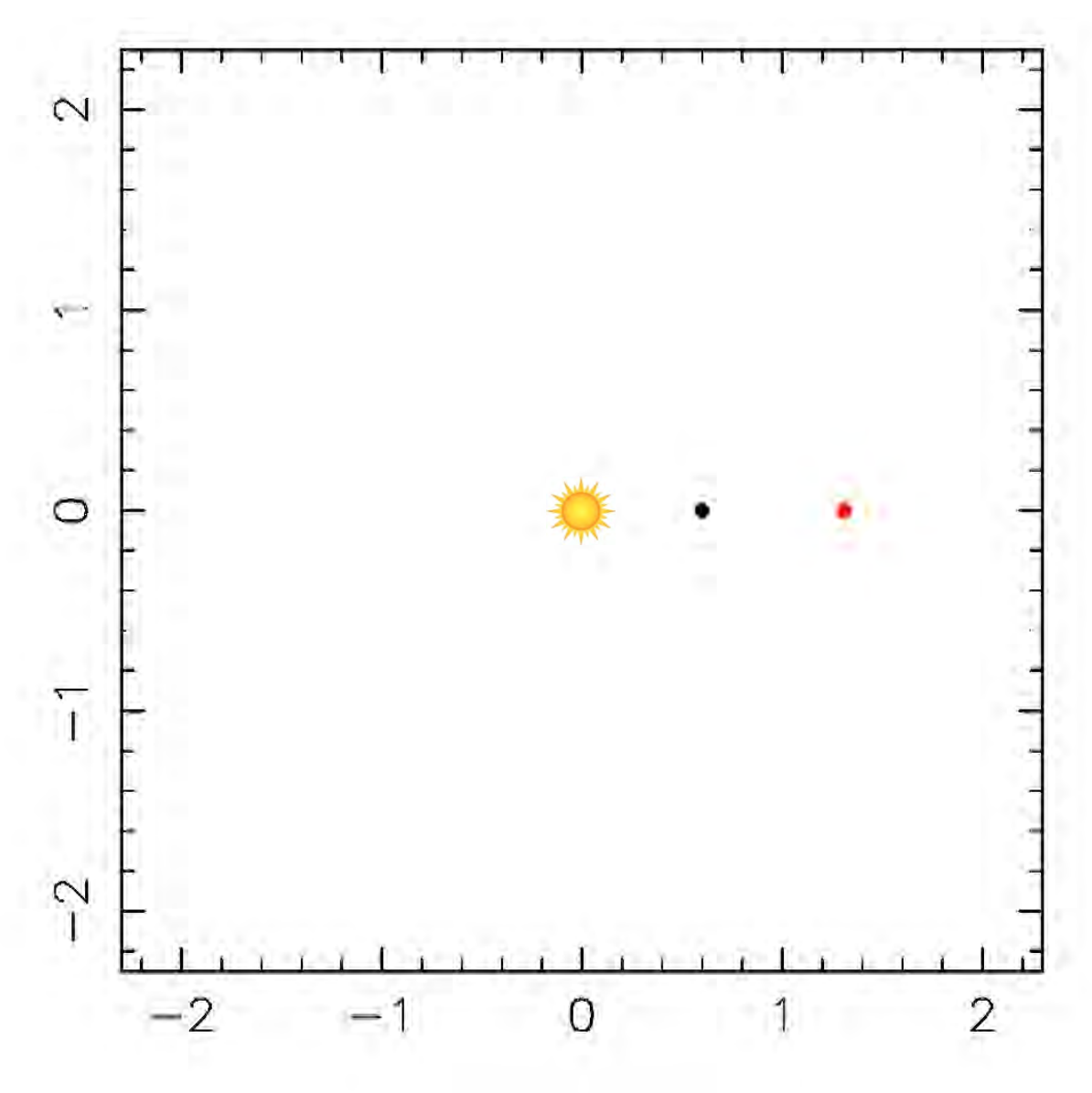


Résonance 3/2 et astéroïdes Hilda





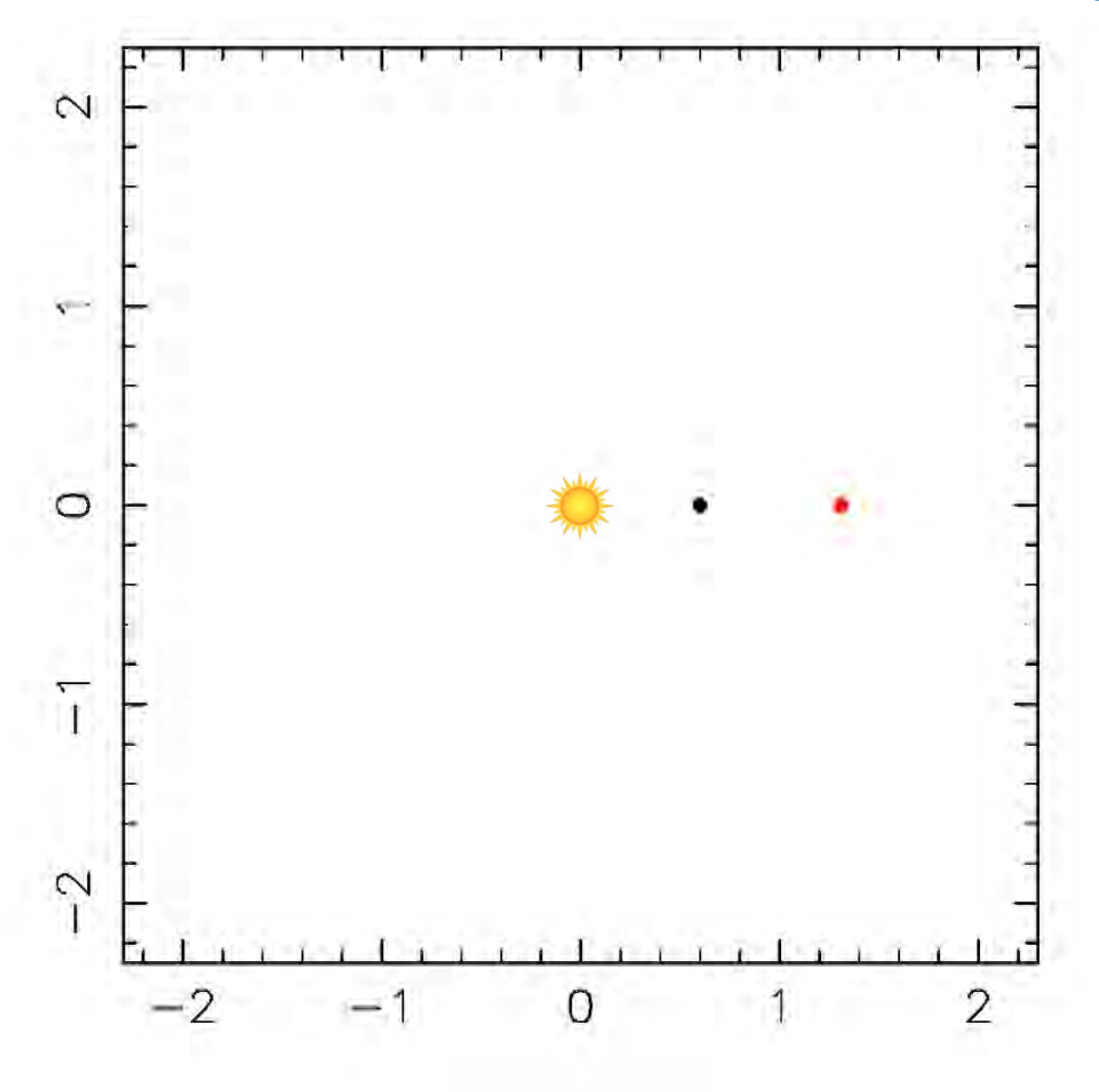
Protection résonnante vis-à-vis des rencontres proches



- Planète (circulaire)
- Petit corps (très elliptique)



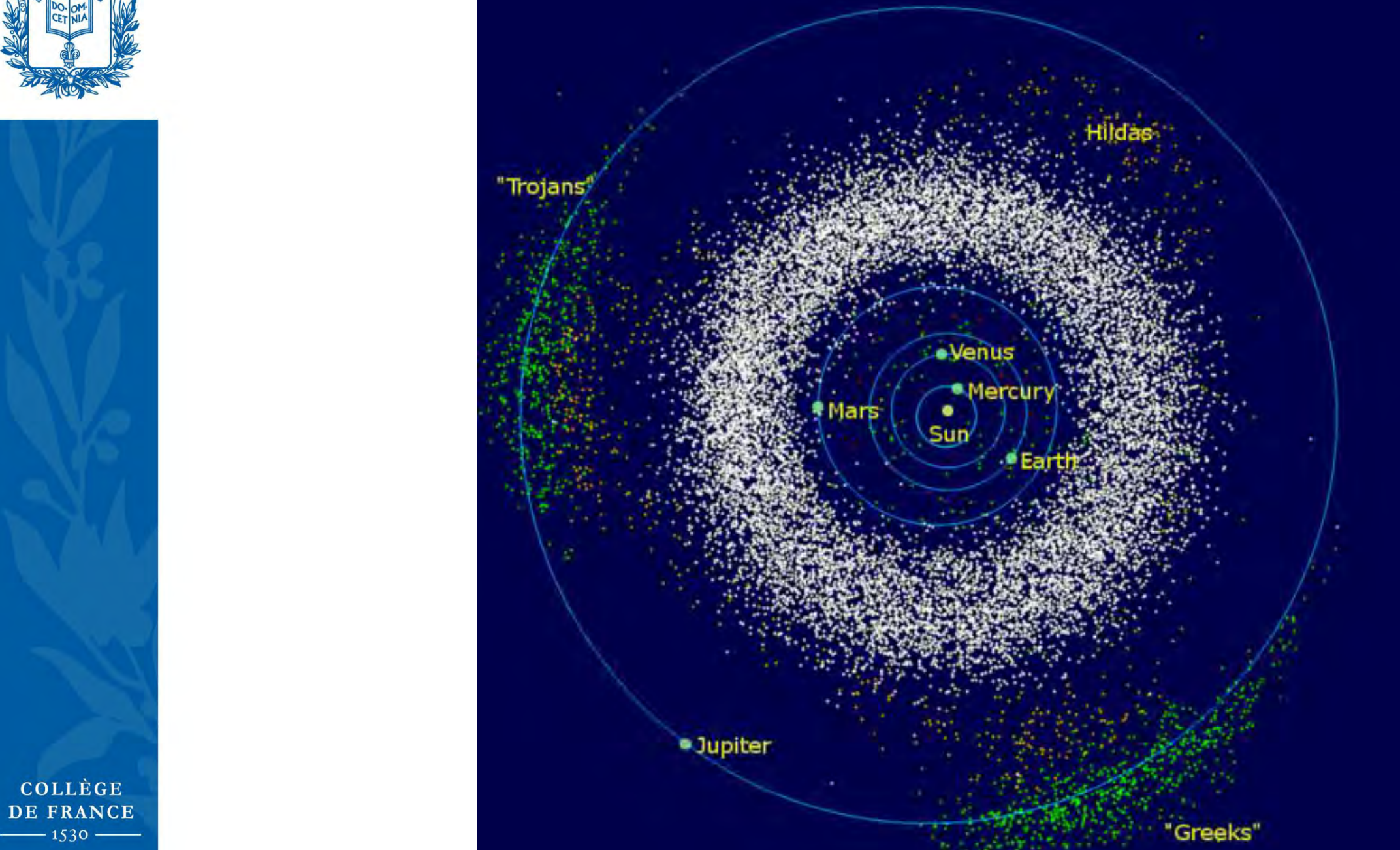
Protection résonnante vis-à-vis des rencontres proches



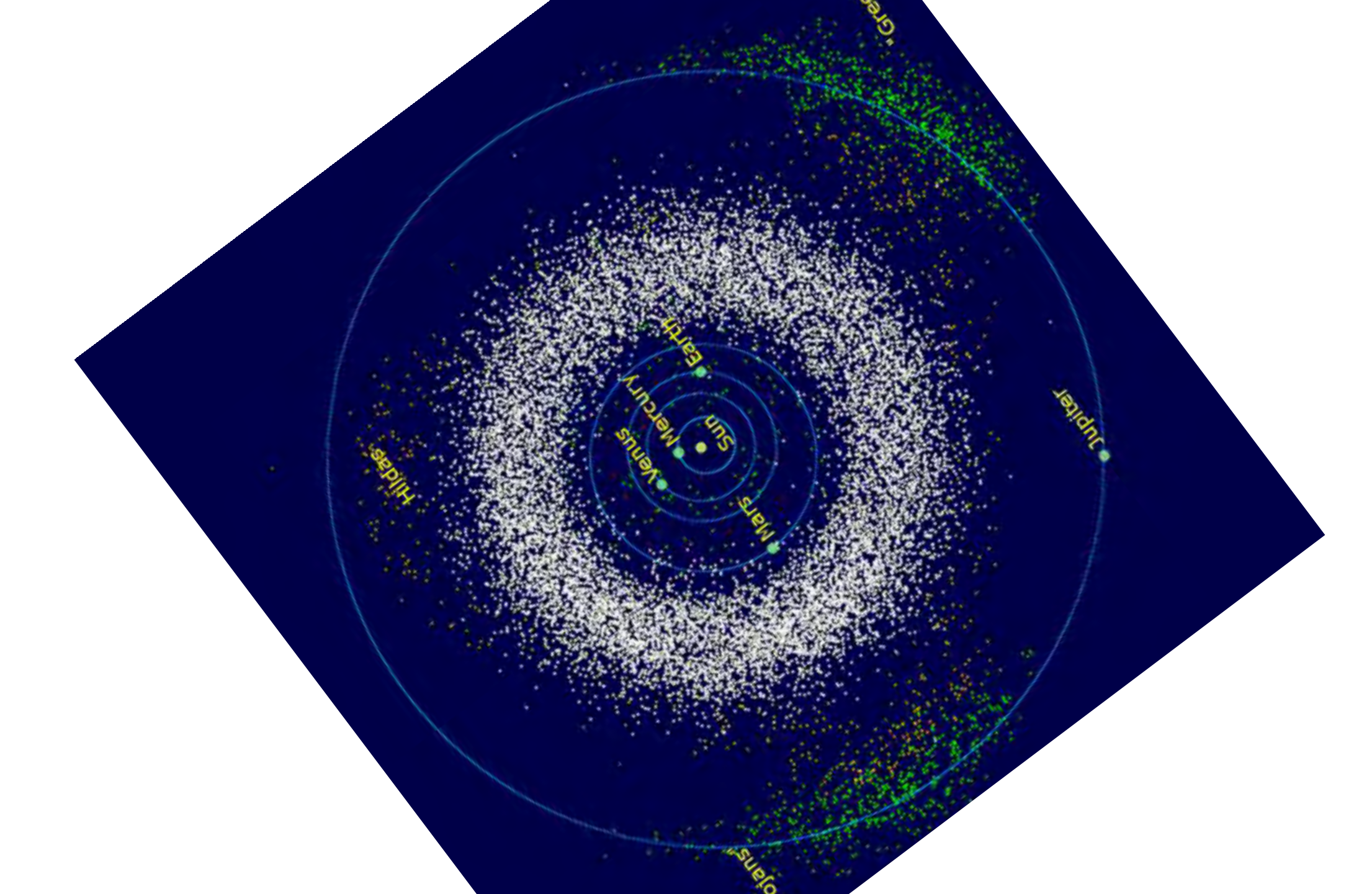
- Planète (circulaire)
- Petit corps (très elliptique)

La même animation en coordonnées tournantes



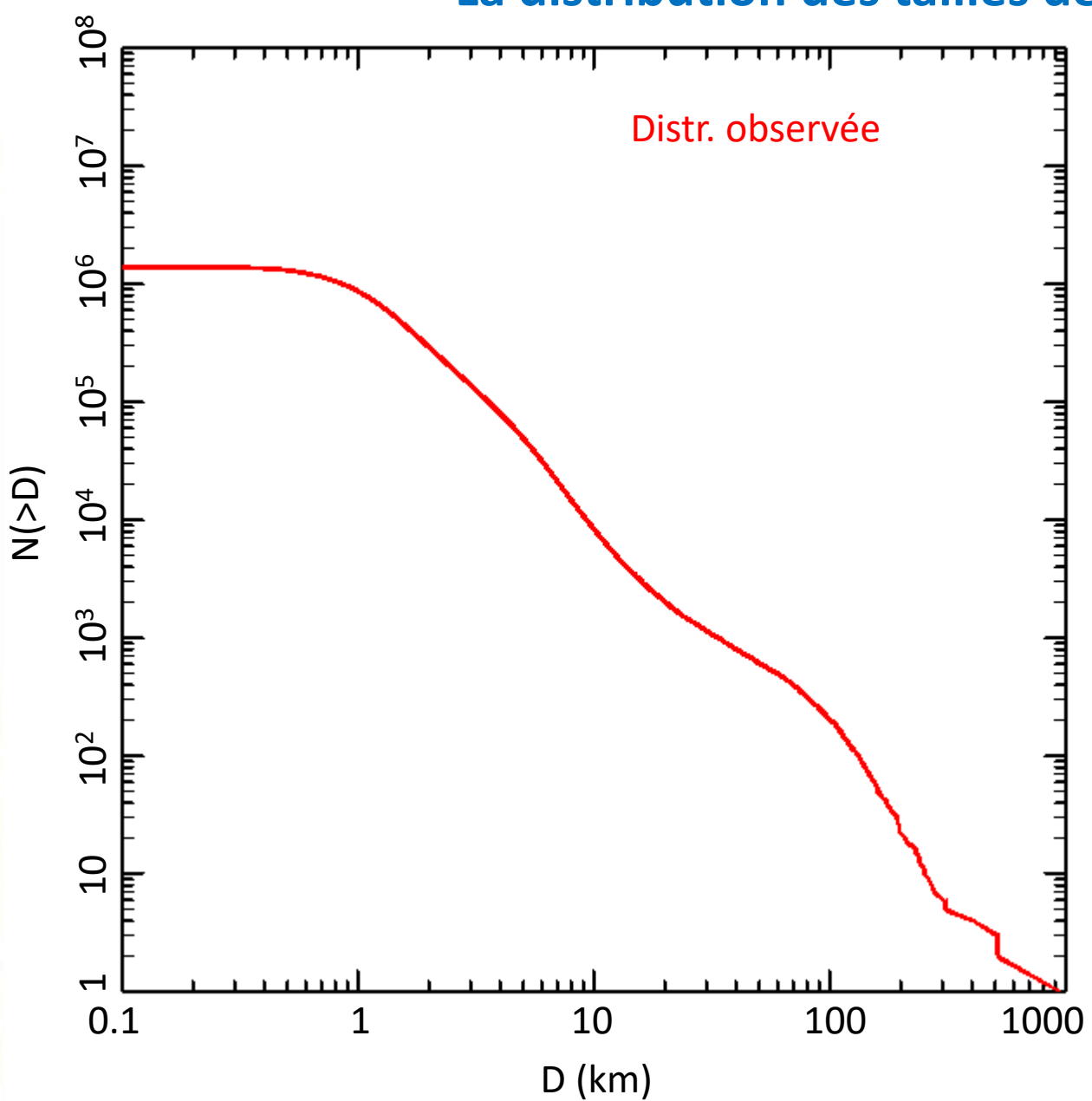








La distribution des tailles des astéroïdes

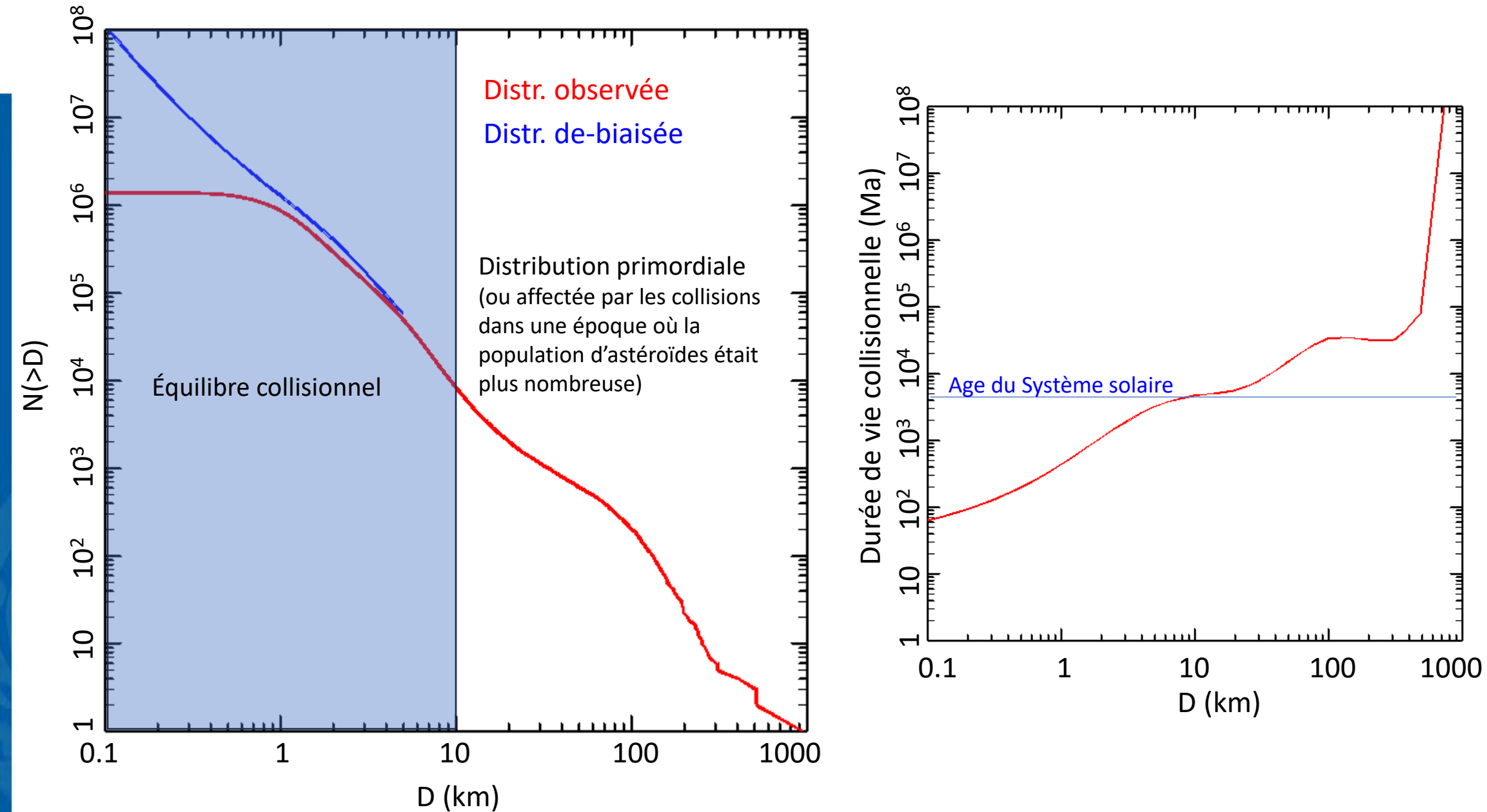




COLLÈGE

DE FRANCE

La distribution des tailles des astéroïdes





Preuves de collisions: I) éjection soudaine de poussières



Pas de signes de dégazage

Même chose pour:

493 Griseldis

354P/LINEAR

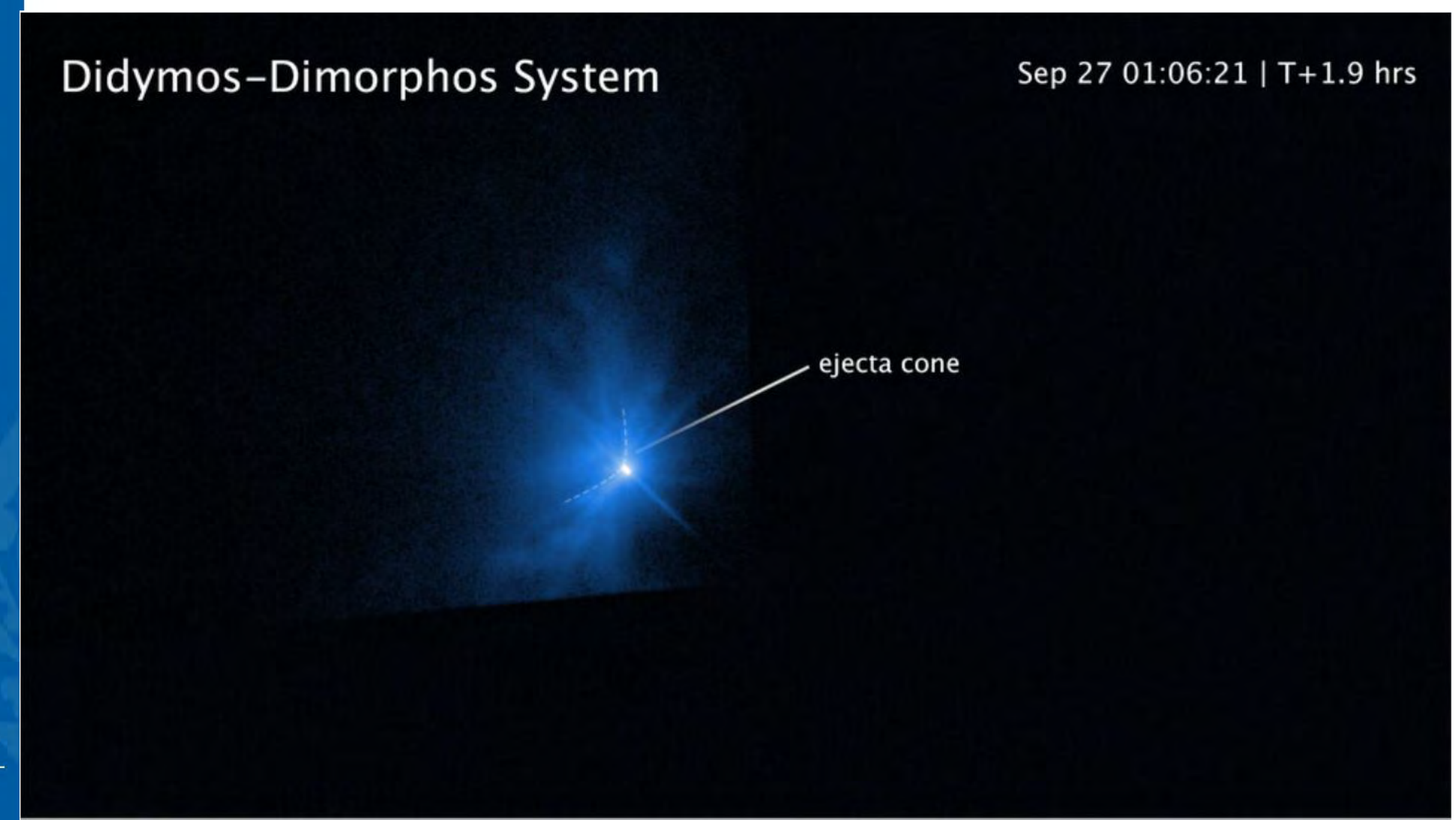
P/2016 G1

Ils sont nommés "astéroïdes actifs"



Preuves de collisions: I) éjection soudaine de poussières

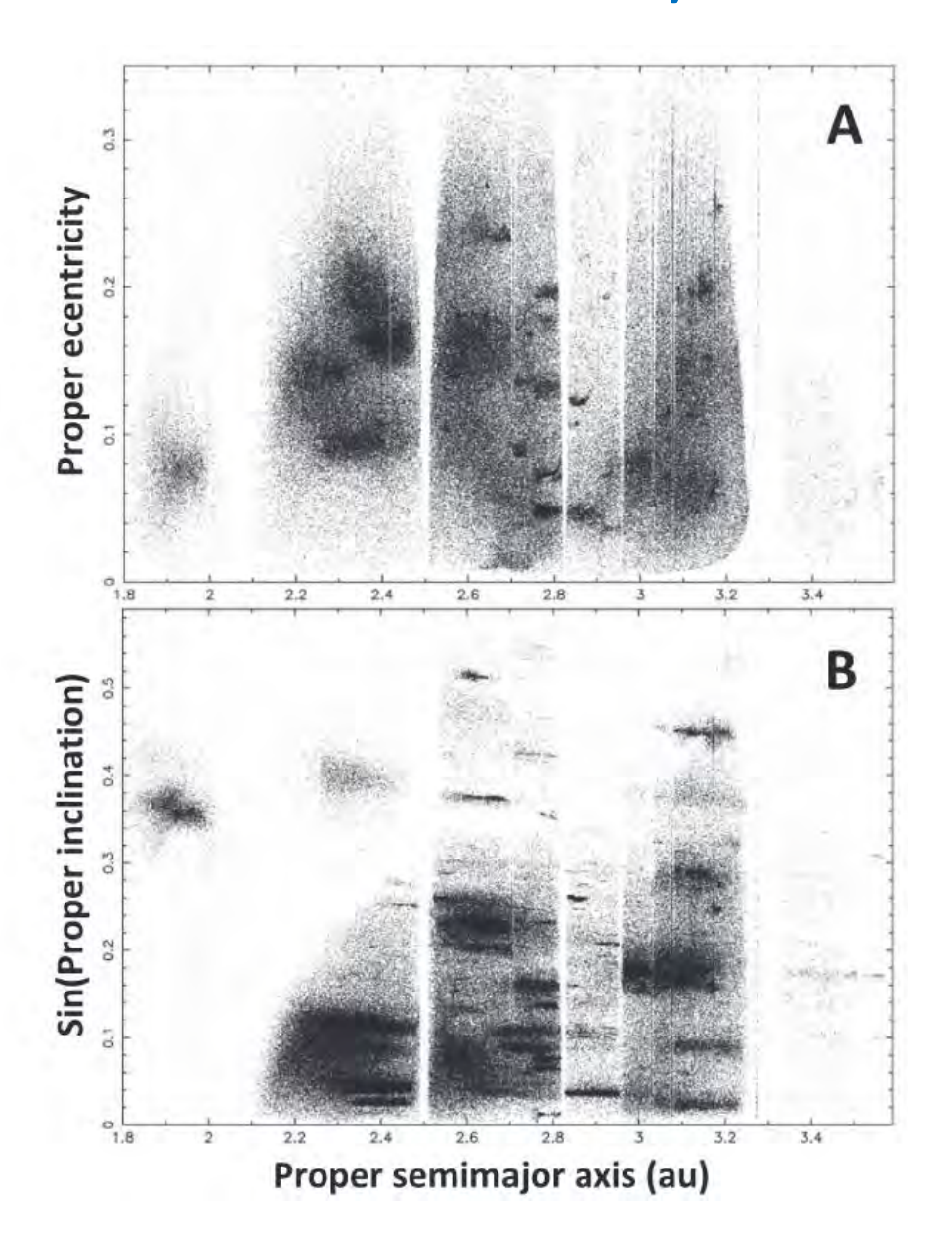
Équivalent artificiel: impact de la mission DART sur Dimorphos, le satellite de Didymos



Projectile de 546kg V_{imp}=5,8km/s

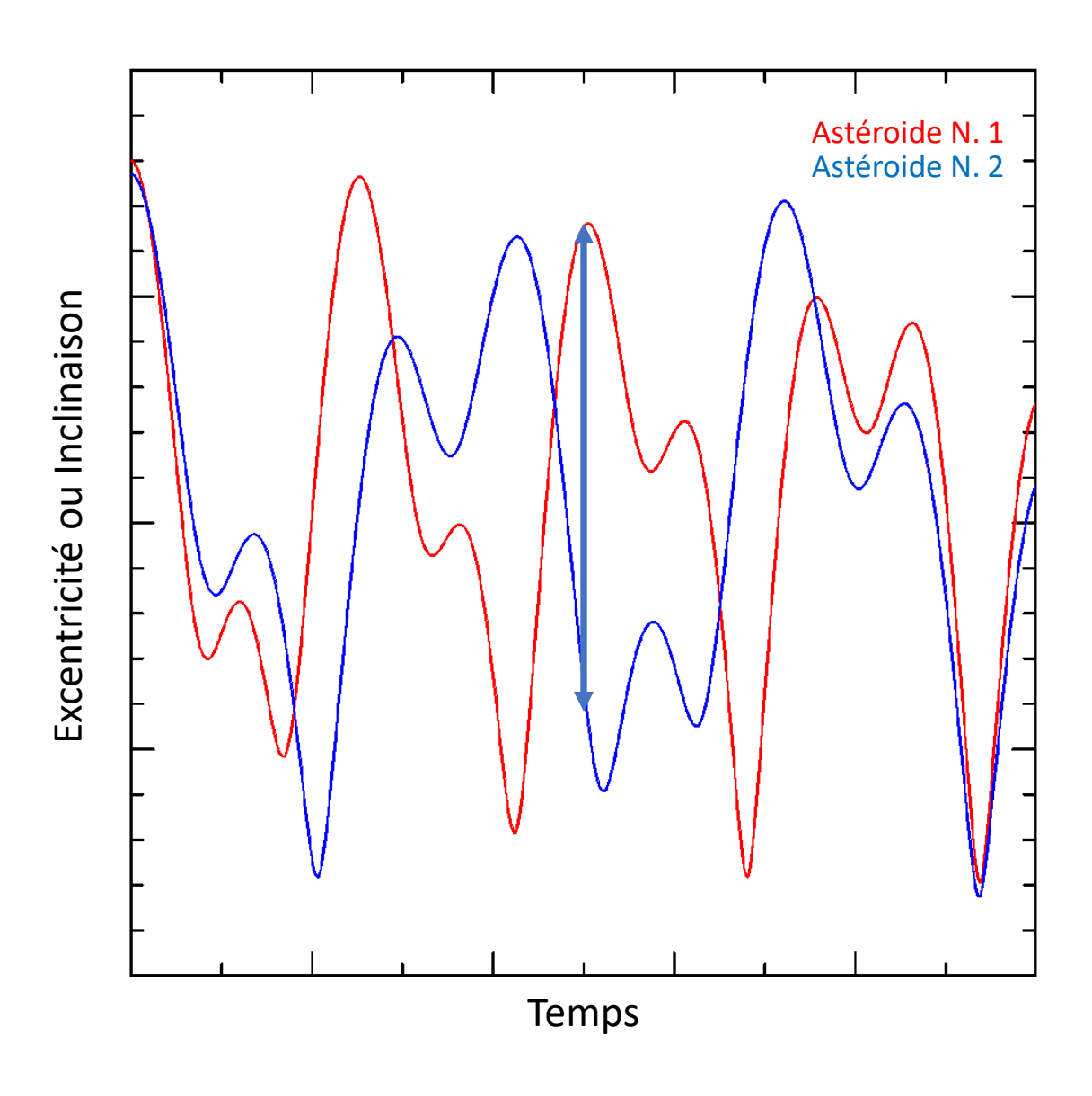


Preuves de collisions: II) Les familles collisionnelles d'astéroïdes





Oscillation des éléments orbitaux



Une petite différence initiale peut devenir une grande différence, selon la phase d'oscillation

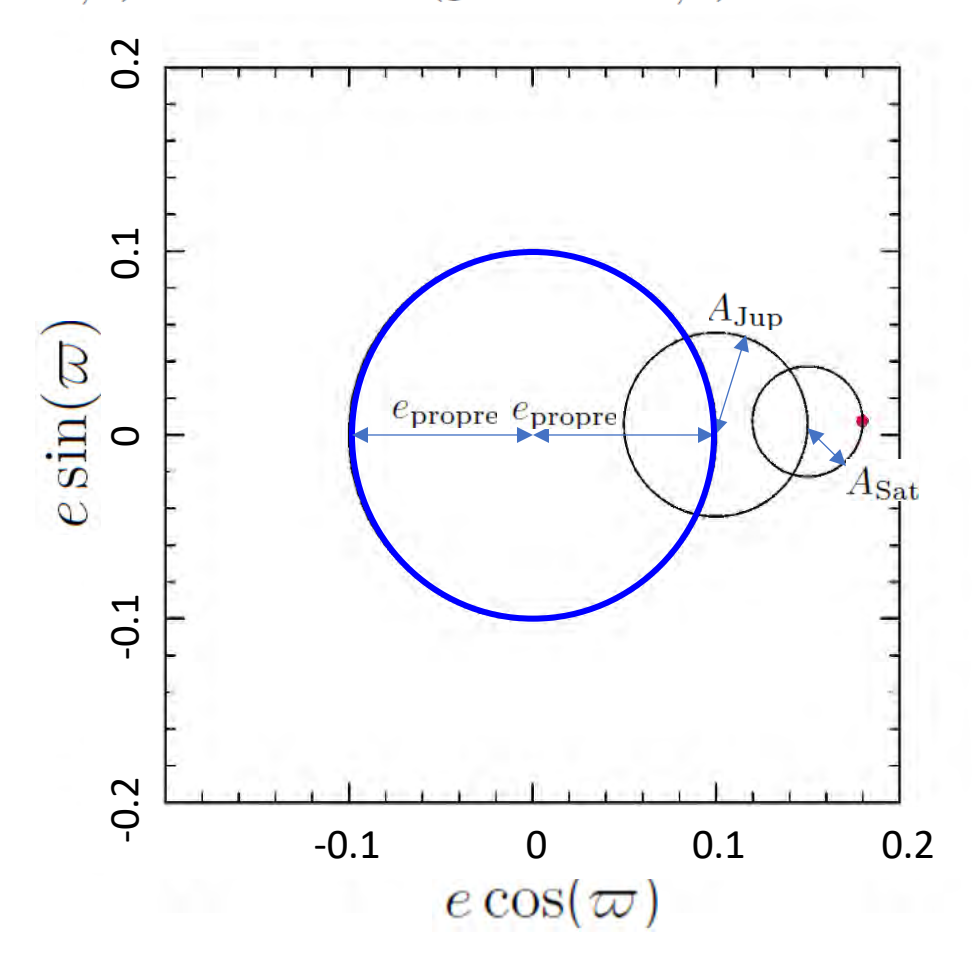




Définition et calcul des éléments propres

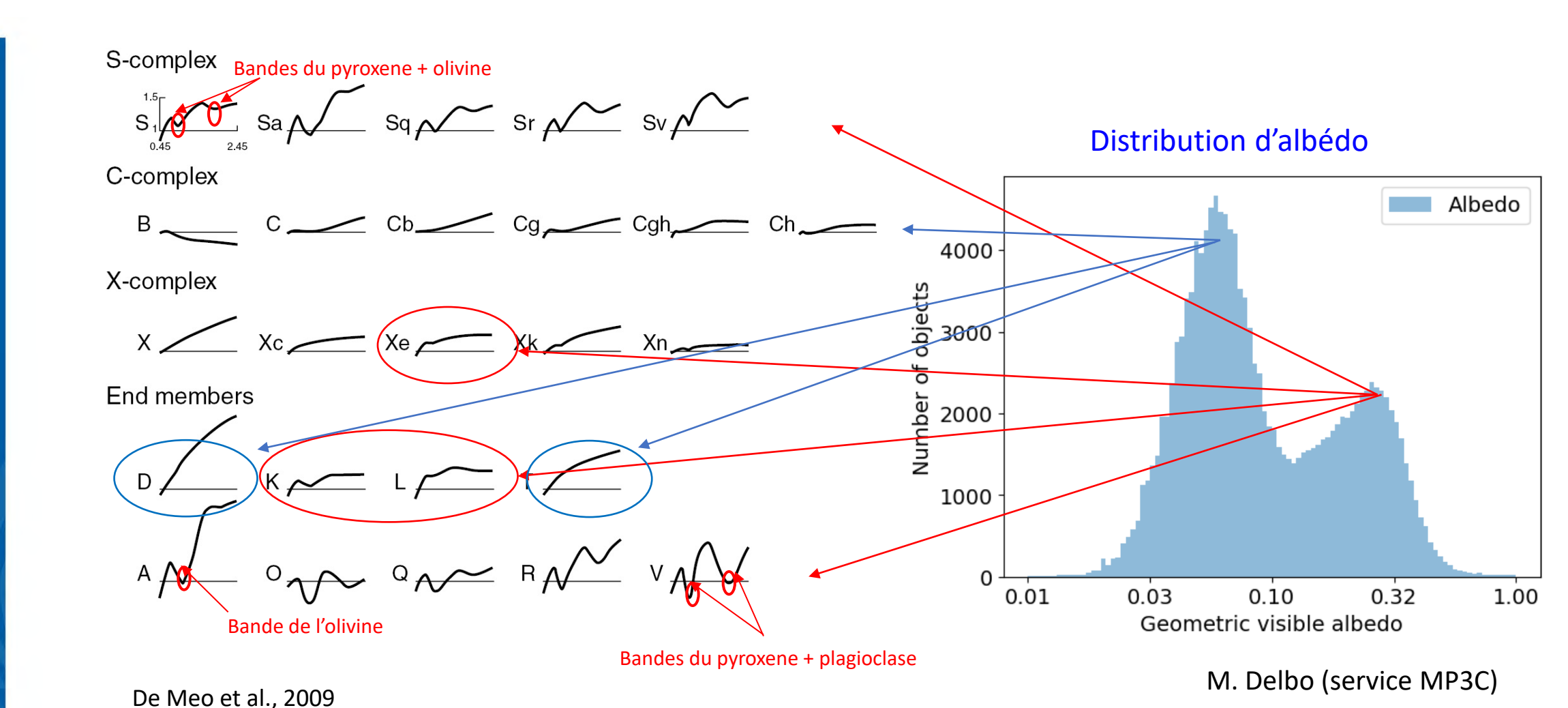
Au premier ordre dans les excentricités (ou inclinaisons) des planètes, l'excentricité (ou l'inclinaison) d'un astéroïde oscille selon la loi:

$$e\cos(\varpi) = e_{\text{propre}}\cos(gt + \varpi_0) + A_{\text{Jup}}\cos(g_5t + \varpi_{0,5}) + A_{\text{Sat}}\cos(g_6t + \varpi_{0,6})$$
$$e\sin(\varpi) = e_{\text{propre}}\sin(gt + \varpi_0) + A_{\text{Jup}}\sin(g_5t + \varpi_{0,5}) + A_{\text{Sat}}\sin(g_6t + \varpi_{0,6})$$



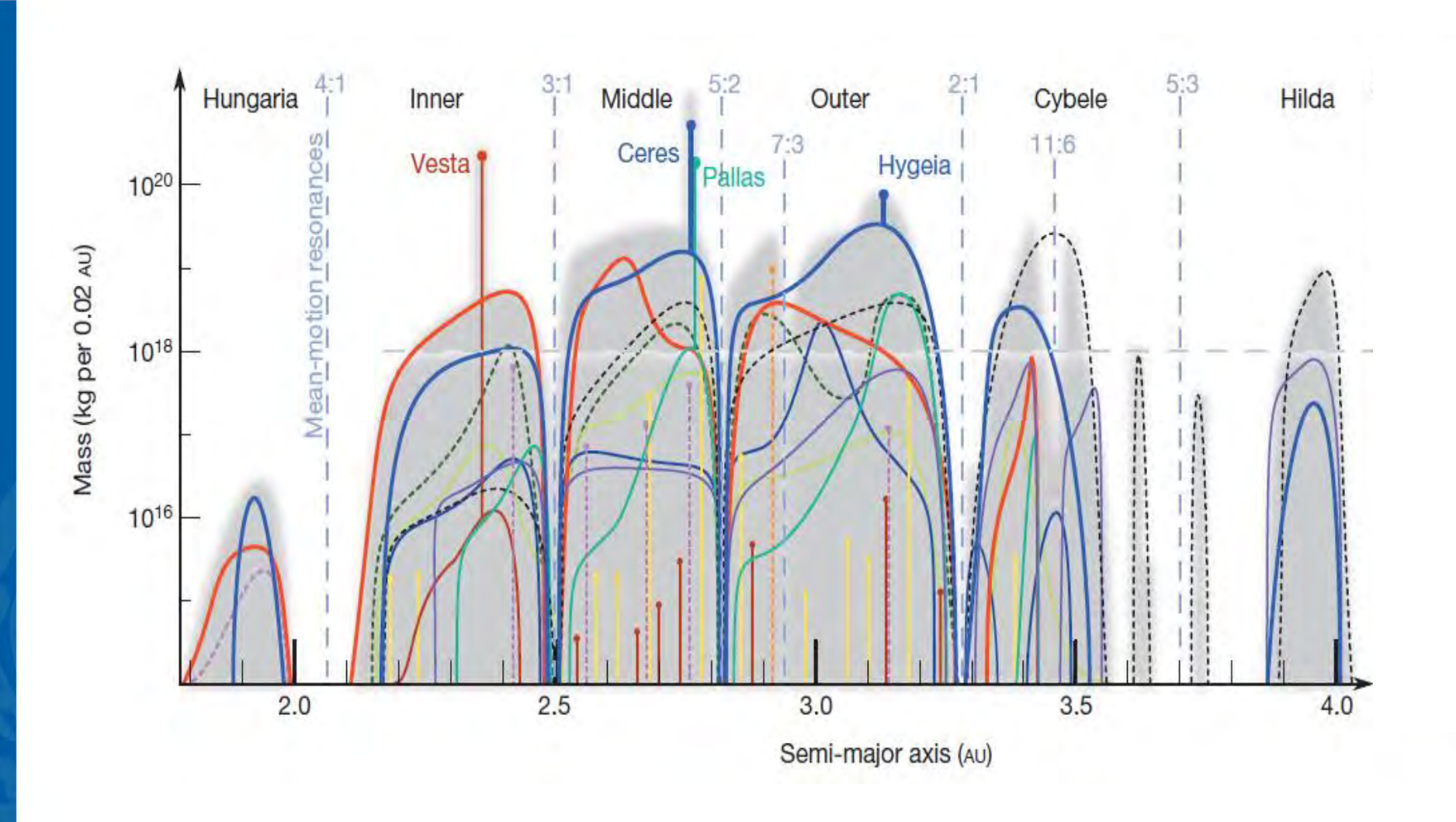


Classification spectrale des astéroïdes





Distribution des classes spectrales dans la ceinture principale







Classification des astéroïdes par couleur (indice spectral)

Bandes spectrales:

u: 355,1 +/- 30 nm

g: 468,6 +/- 70 nm

r: 616,6 +/- 70 nm

i: 748,0 +/- 75 nm

z: 893,2 +/- 60 nm

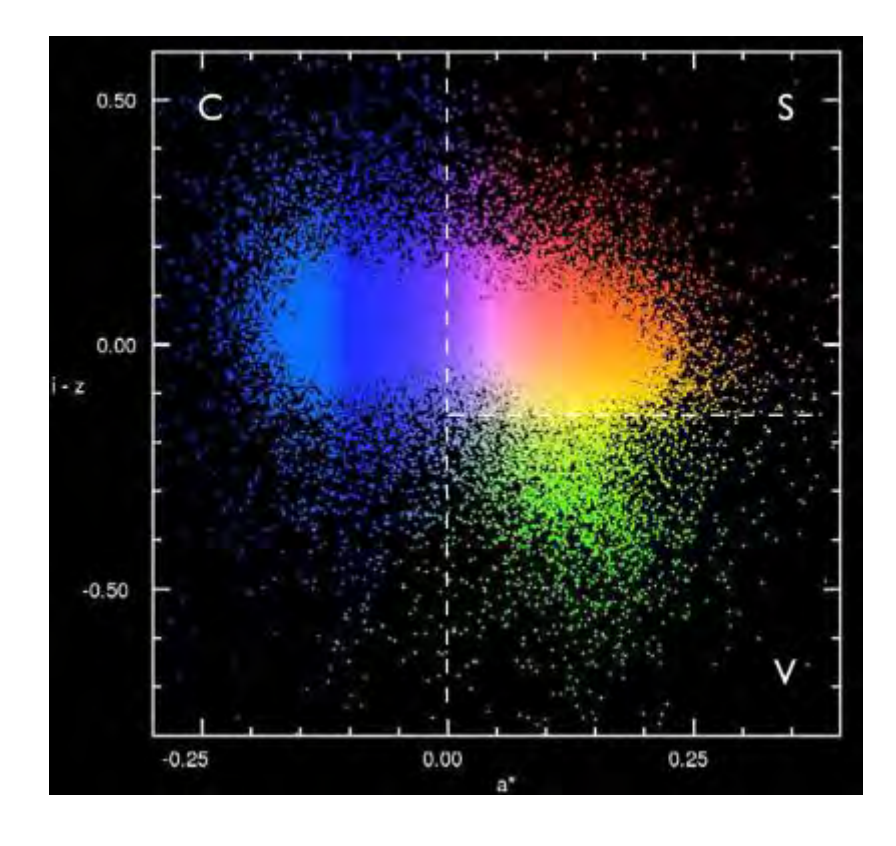
Indice spectral:

Différence de luminosité mesurée dans des bandes spectrales proches (ex. z-i, r-g)

Analyse en composantes principales:

Trouver les deux combinaisons d'indices spectrals qui maximisent les différences entre objets

Pour SDSS: i-z et a* $\equiv 0.89(g - r) + 0.45(r - i) - 0.57$

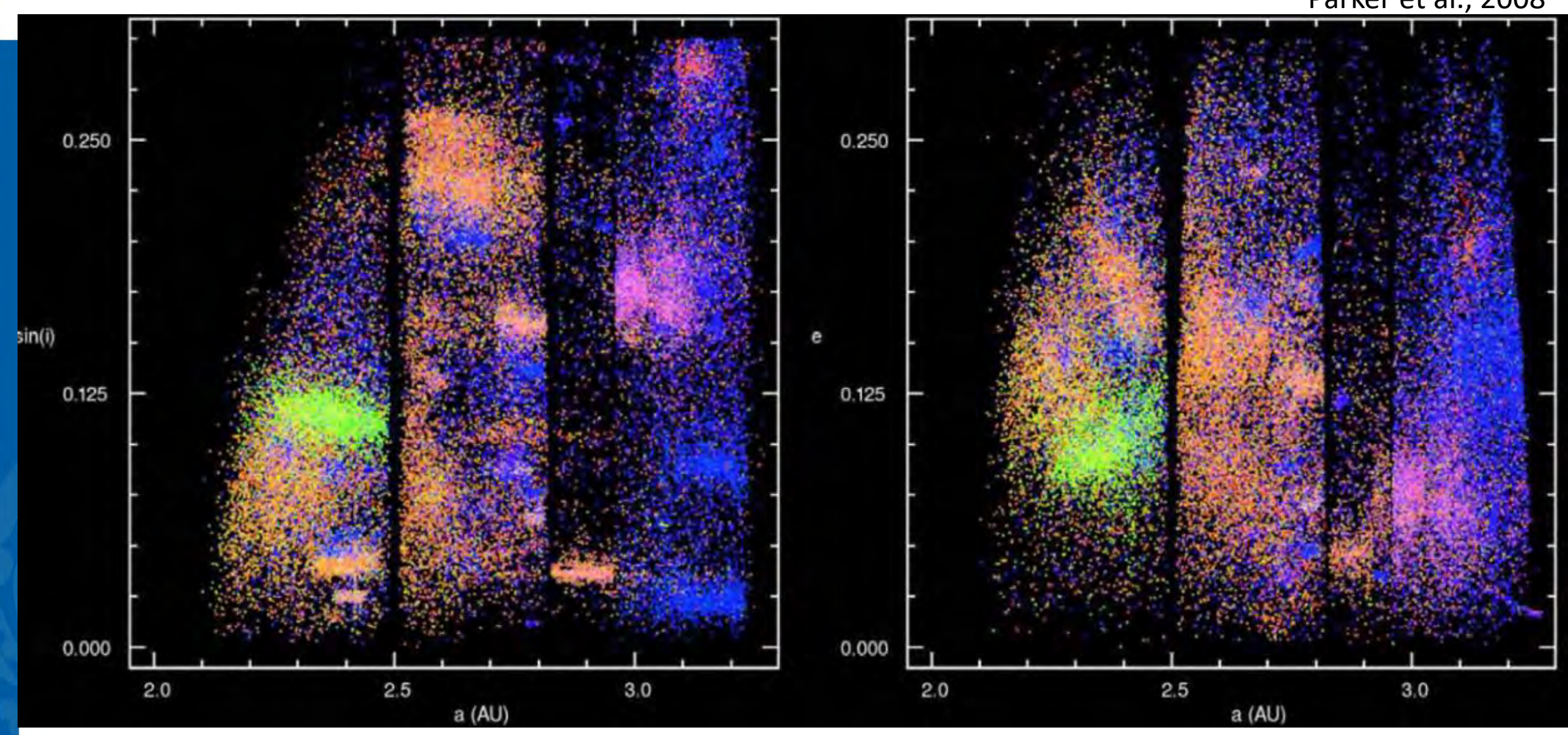


Parker et al., 2008



Distribution des couleurs dans la ceinture des astéroïdes

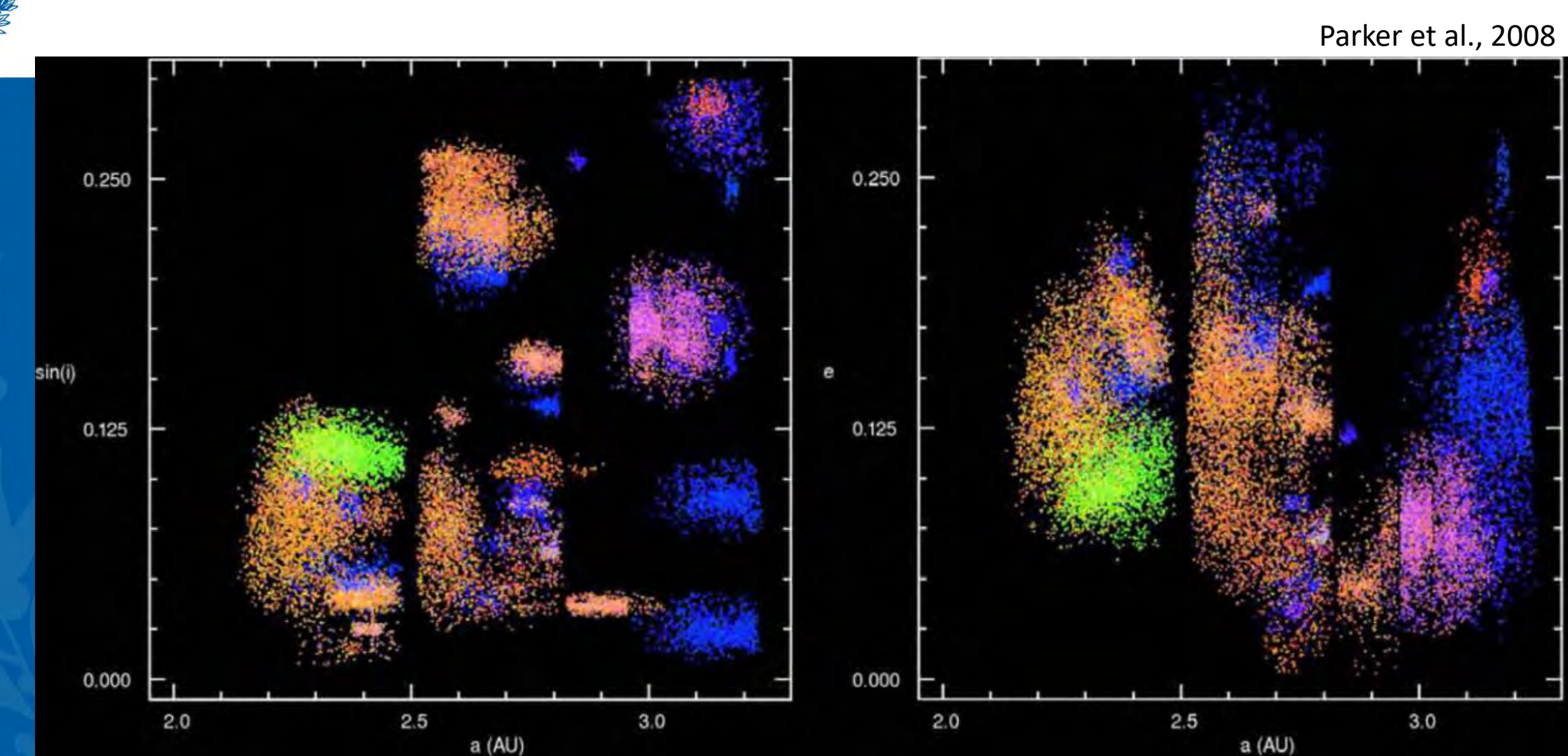
Parker et al., 2008



Les familles se distinguent comme des taches de couleur uniforme, ce qui est cohérent avec l'origine collisionnelle à partir d'un corps parent unique



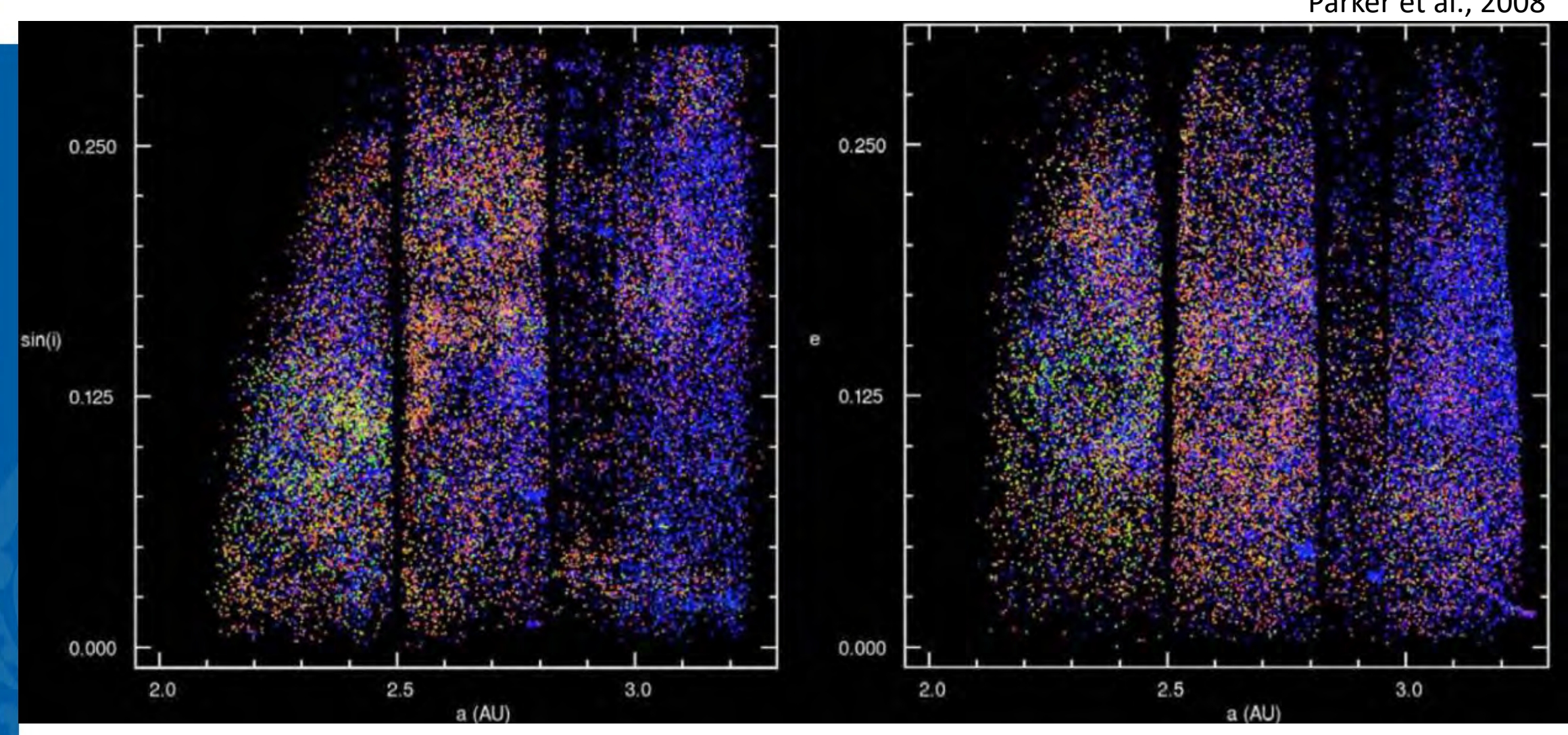
Familles d'astéroïdes





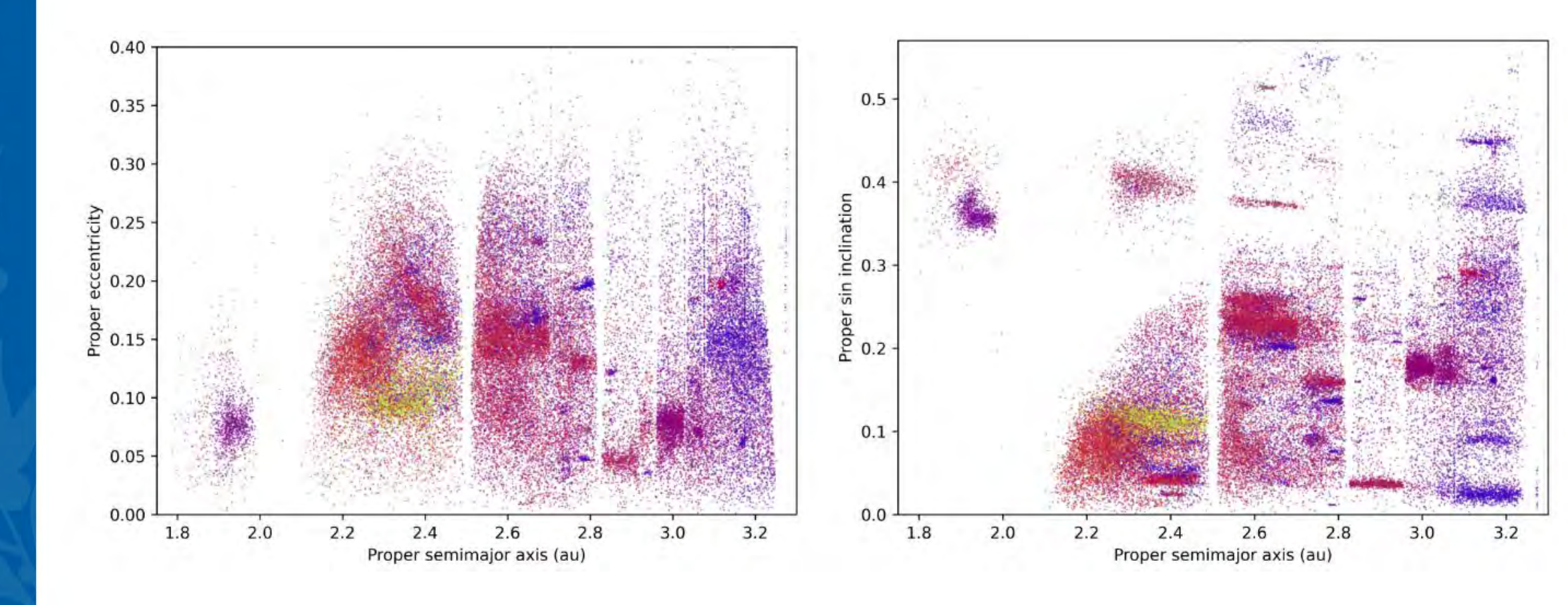
Background







Carte de couleurs par Gaia



Galluccio et al., 2023



L'astéroïde Cérès

Premier astéroïde découvert (1801) Le plus gros de la ceinture: D=940 km Il contient 40% de la masse totale de la ceinture

Type spectroscopique C (G pour la présence d'argile)

Visité par la sonde Dawn (NASA) pendant en 2015-2018

Composition de surface:

Riche en carbonates, argiles et phyllosilicates riches en ammonium, altérés par l'eau. 20% de la masse en C, 10% en H₂O vers les régions polaires.

Albédo: 0,075

Densité: 2,08 g/cm³

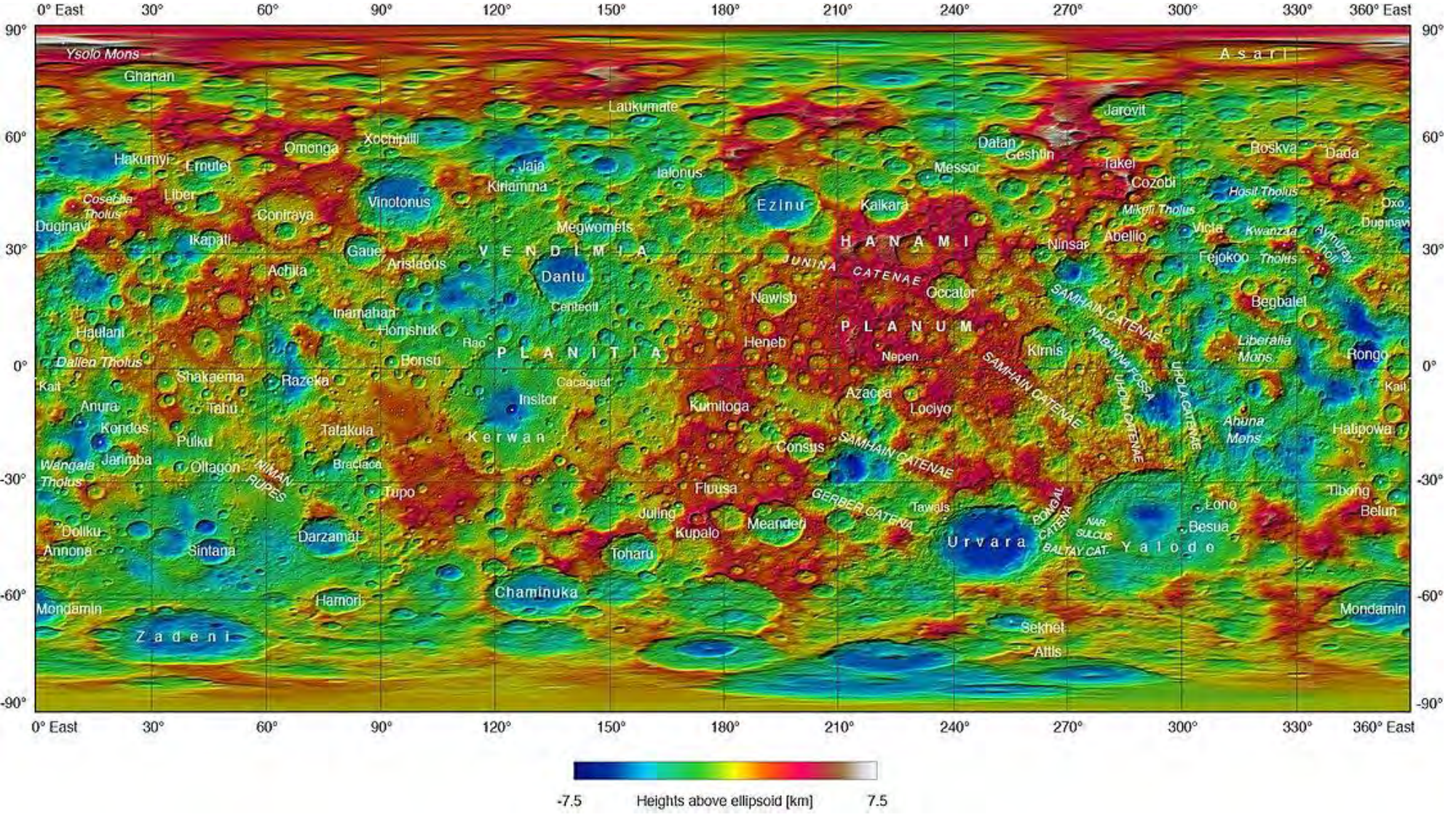




COLLÈGE

DE FRANCE

L'astéroïde Cérès



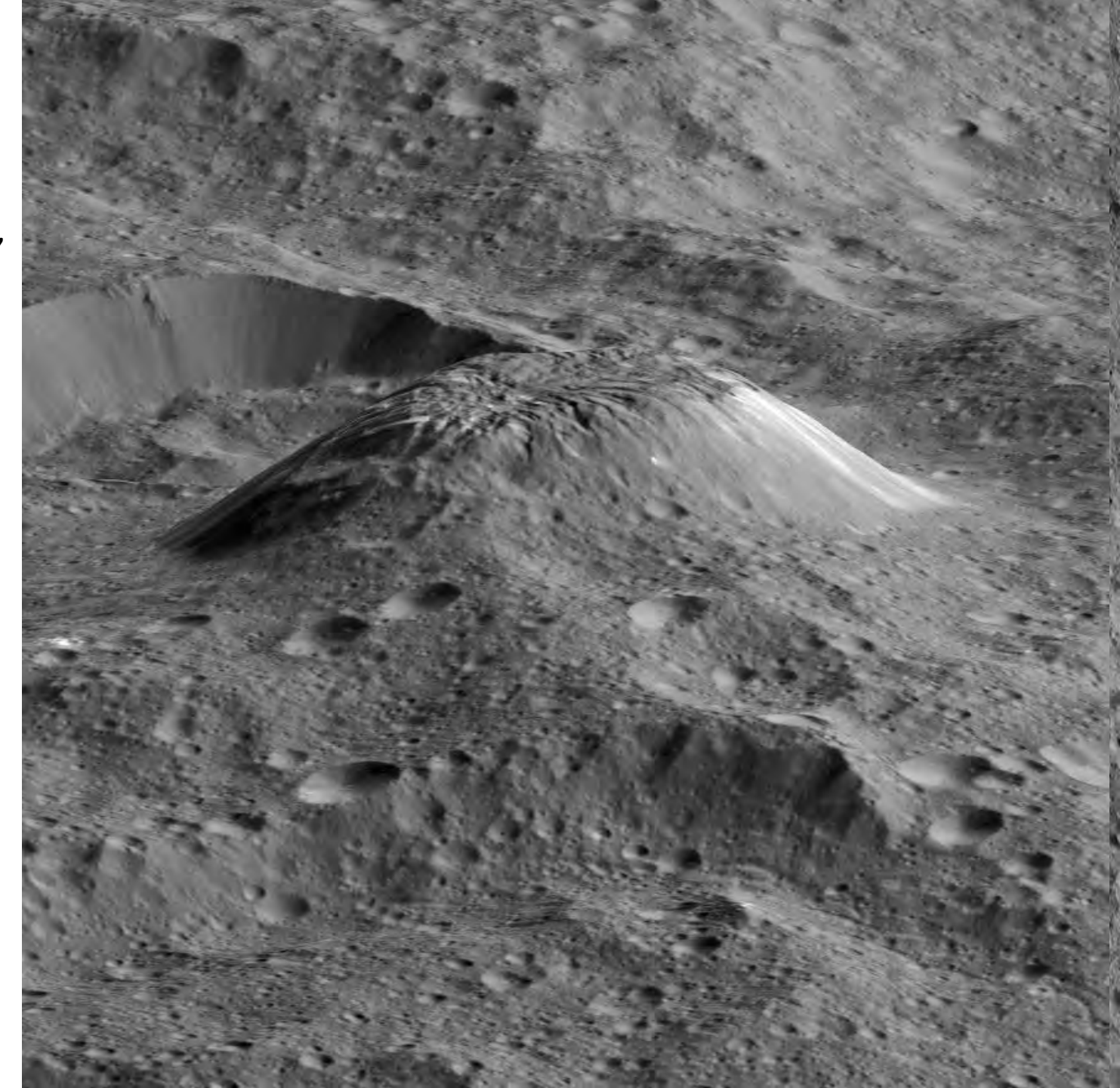
Beaucoup de cratères, mais mois que attendu. Probablement les cratères plus anciens ont été effacés par la relaxation visqueuse de la croute ou le cryovolcanisme.



L'astéroïde Cérès

Ahuna Mons: exemple de cryo-volcan, avec une hauteur de ~ 3 km

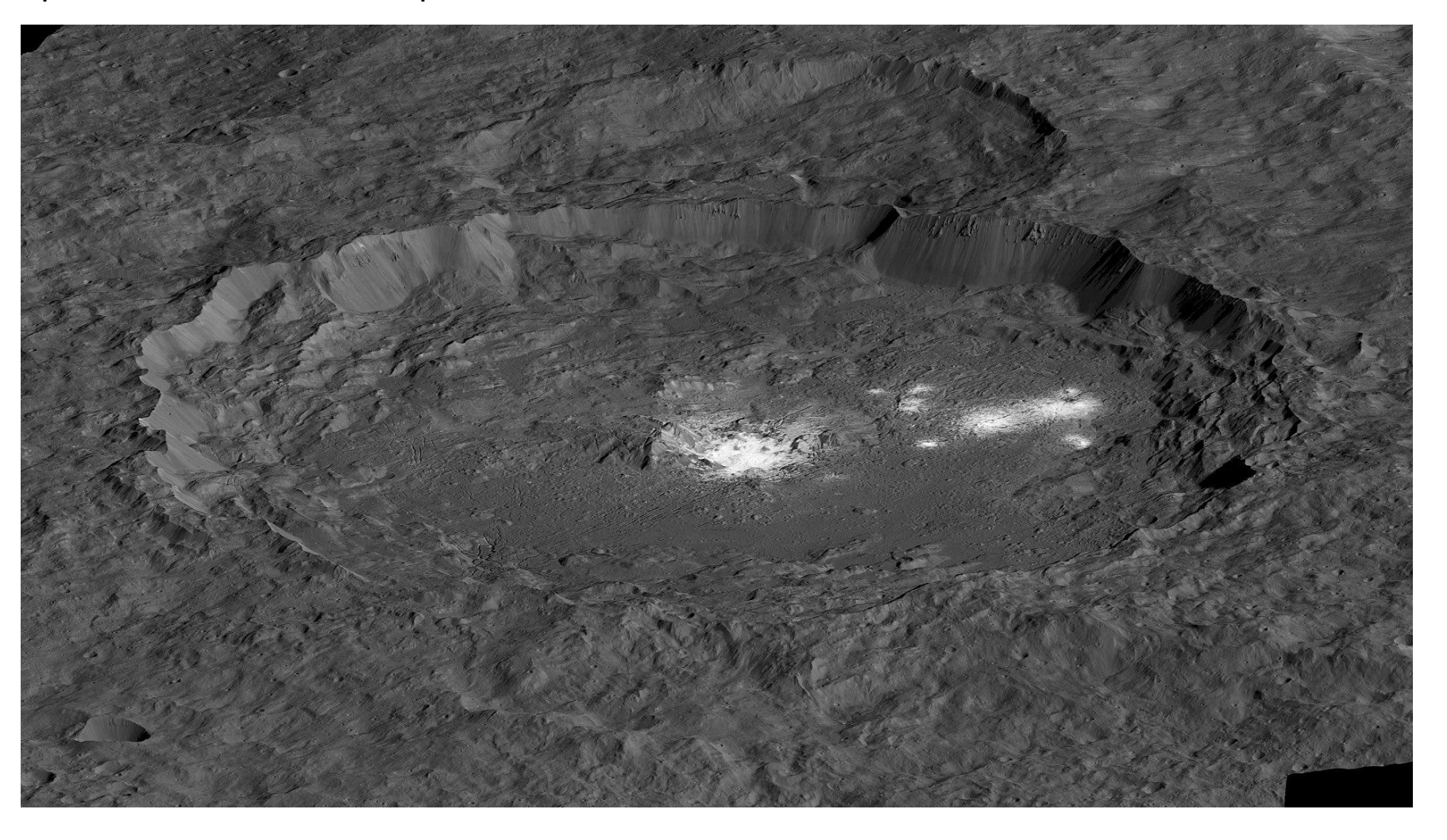
On estime que un cryo-volcan se forme sur Cérès tous les 50 millions d'années en moyenne





L'astéroïde Cérès

Beaucoup de cratères ont une dépression centrale au lieu d'avoir un sommet central, comme sur la Lune



COLLÈGE DE FRANCE ----- 1530 -----

Le cratère d'Occator contient des régions brillantes (faculae), dues à des saumures riches en ammonium et sulfates de magnésium, provenant du sous-sol.



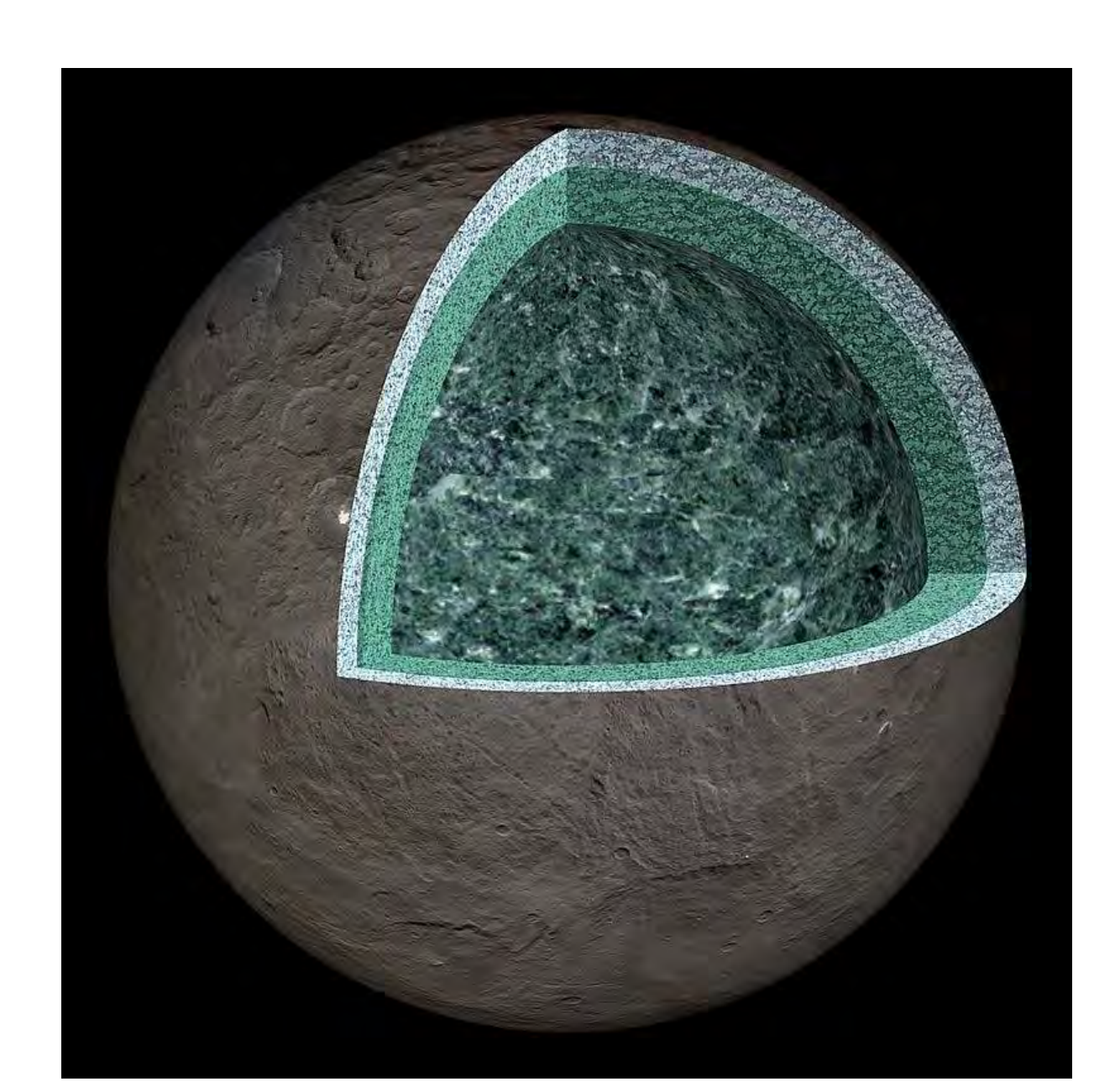
L'astéroïde Cérès

Modèle à trois couches, élaboré à partir du champ de gravité mesuré par Dawn (Rogez Castillo et al., 2021):

une croûte externe de 40 km d'épaisseur composée de glace, de sels et de minéraux hydratés

une couche de 60 km d'un mélange boueux de saumure et de roches.

« manteau » interne boueux composé de roches hydratées, telles que des argiles





L'astéroïde Vesta

Quatrième astéroïde découvert (1807) Deuxième plus gros de la ceinture: 572.6 km × 557.2 km × 446.4 km

Type spectroscopique V

Visité par la sonde Dawn (NASA) pendant en 2011-2012

Composition de surface: Basalte

Albédo: 0,38

Densité: 3,42 g/cm³





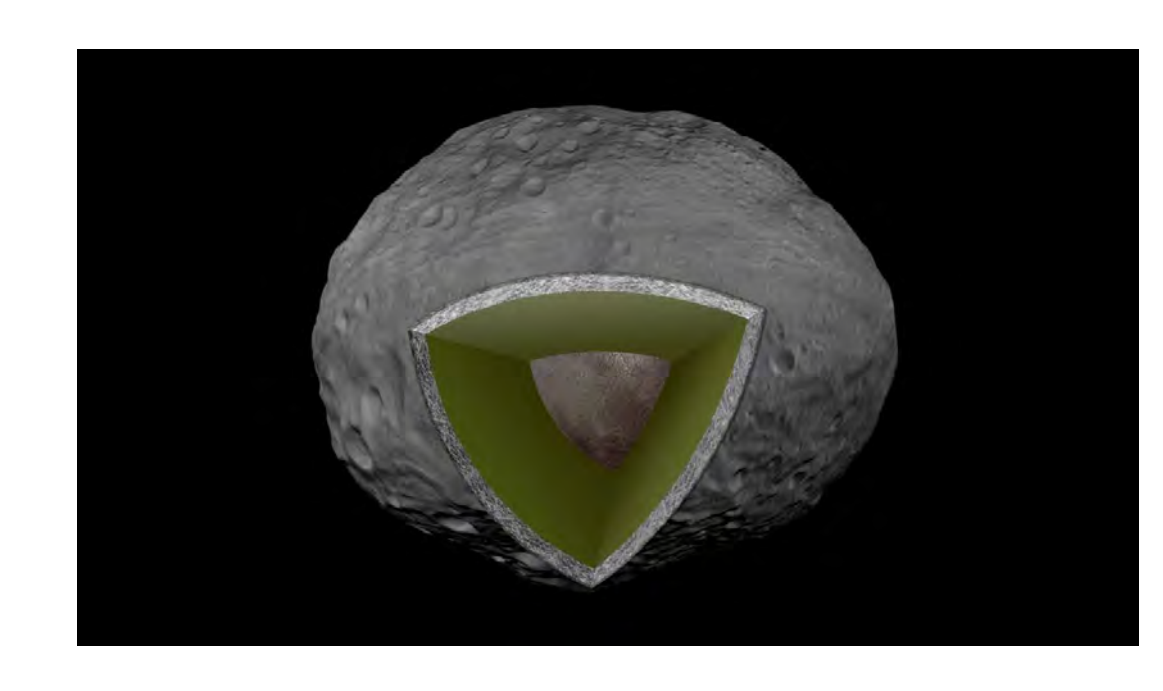
L'astéroïde Vesta

La croute basaltique suggère que l'astéroïde était complètement fondu dans le passé, ce que a permis sa différentiation en un noyau de fer, de 100km de rayon, et un manteau d'olivine, entouré par la croute basaltique (Russel et al., 2012)

Vesta est donc une mini-planète tellurique

Seul astéroïde à avoir une telle structure.

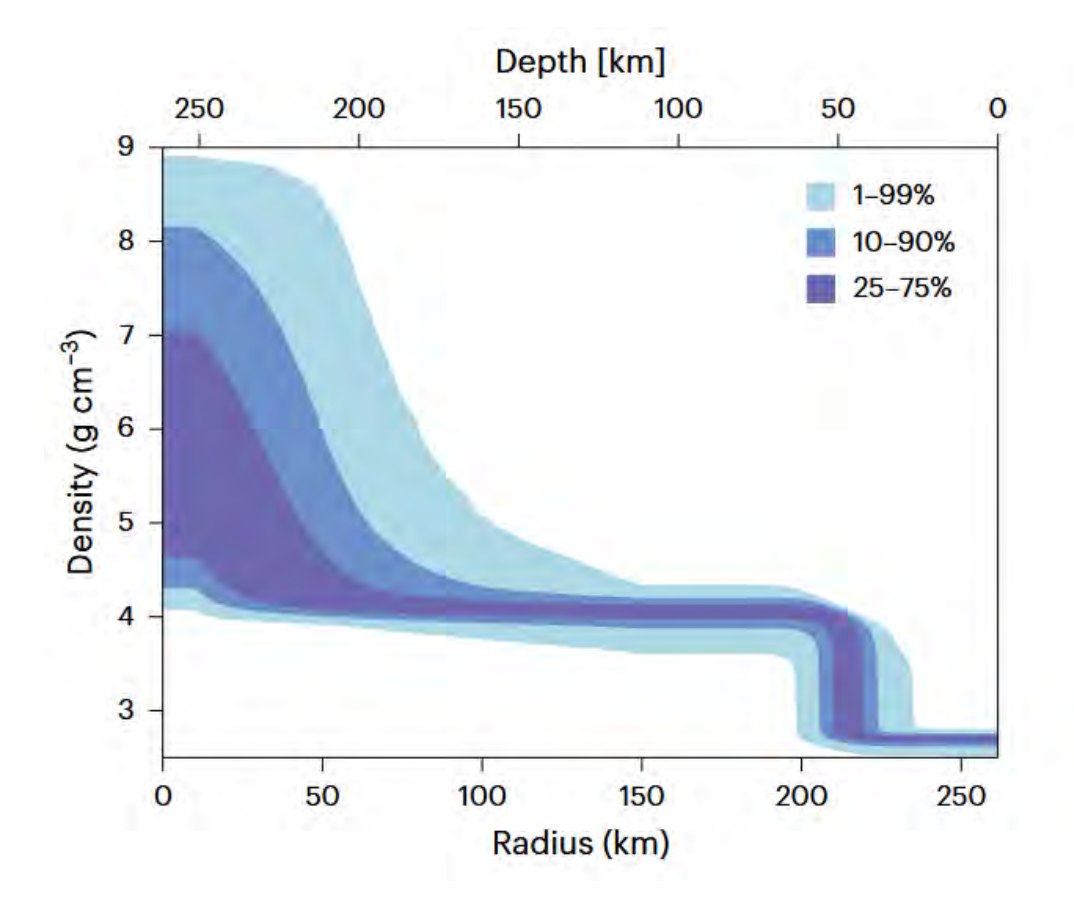
D'autres astéroïdes existent issus de la fragmentation de corps différenciés, mais Vesta est le seul corps différencié intact.





Nouveau: un noyau pas très net

Une réanalyse du champ de gravité par Parker et al. (2025) révèle qu'il n'y a pas une transition de densité nette entre le manteau et le noyau, ce qui suggère que la différentiation métal-silicate a été seulement partielle, à différence des planètes



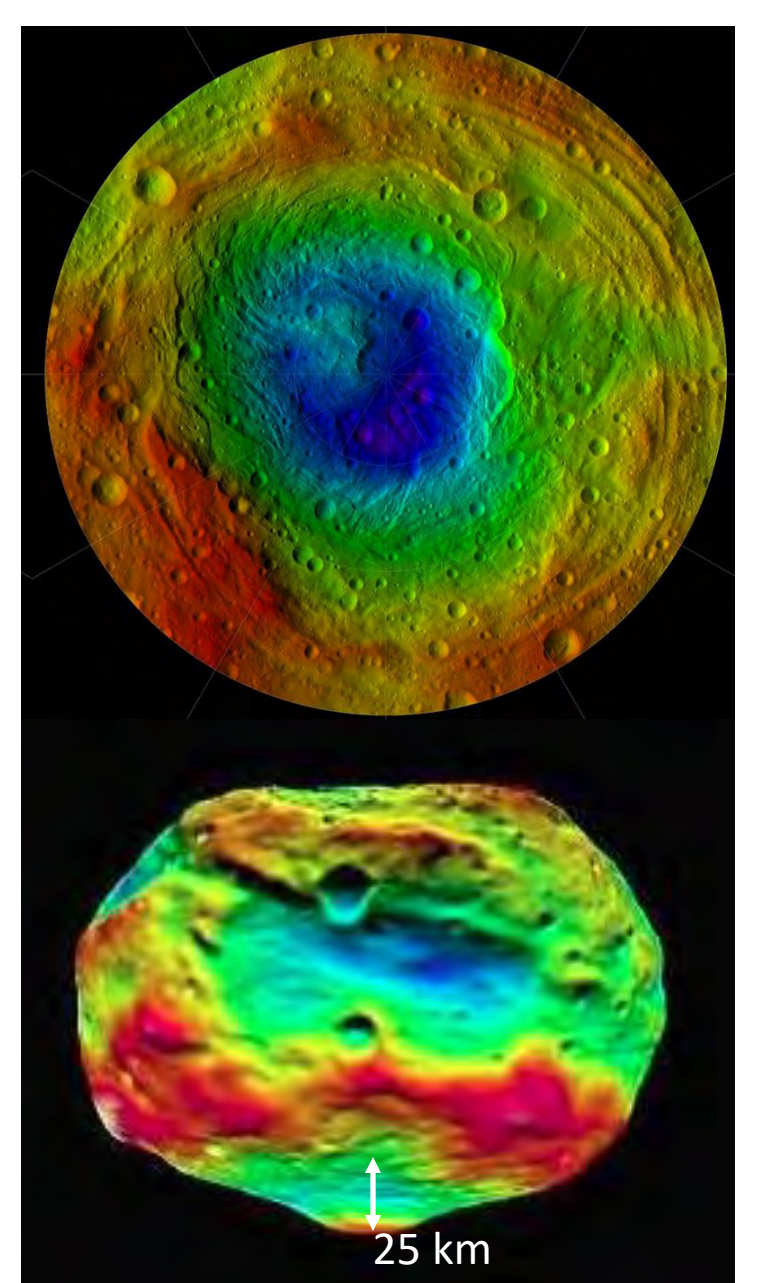


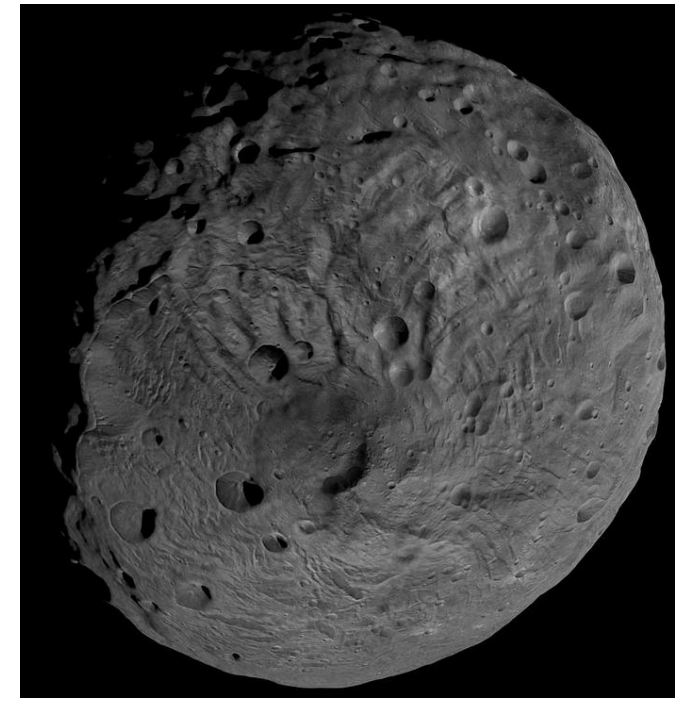
L'astéroïde Vesta

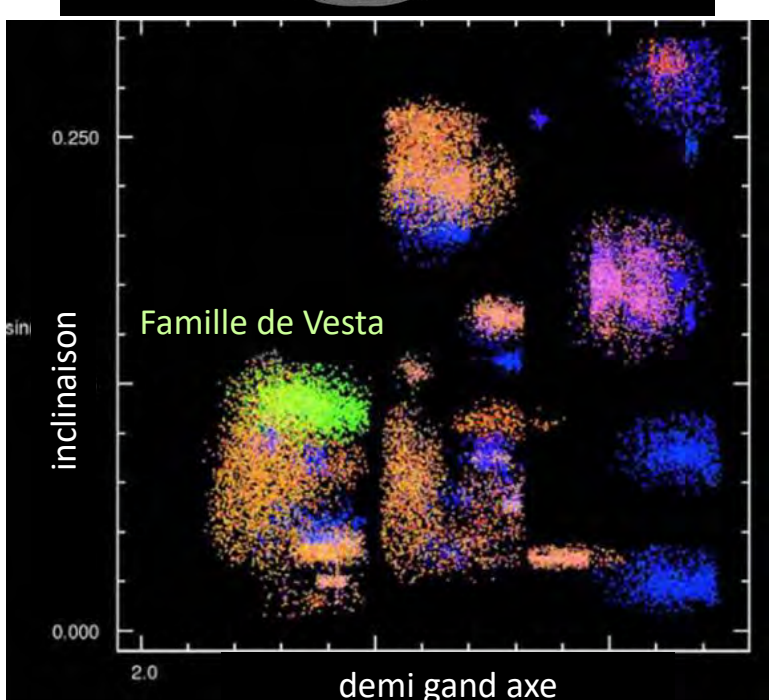
Vesta est caractérisé par deux grands bassins d'impact au pole sud, presque superposés : Veneneia, D=400 km, plus ancien, et Rheasilvia, D= 500 km.

Le bassin de Rheasilvia est le responsable de l'éjection de fragments de croute qui constituent la famille de Vesta.

La bassin Rheasiliva a une profondeur de 20km et a excavé du matériel depuis ~60km de profondeur, sans pour autant exposer/éjecter le manteau d'olivine. La croute basaltique est donc extraordinairement épaisse.



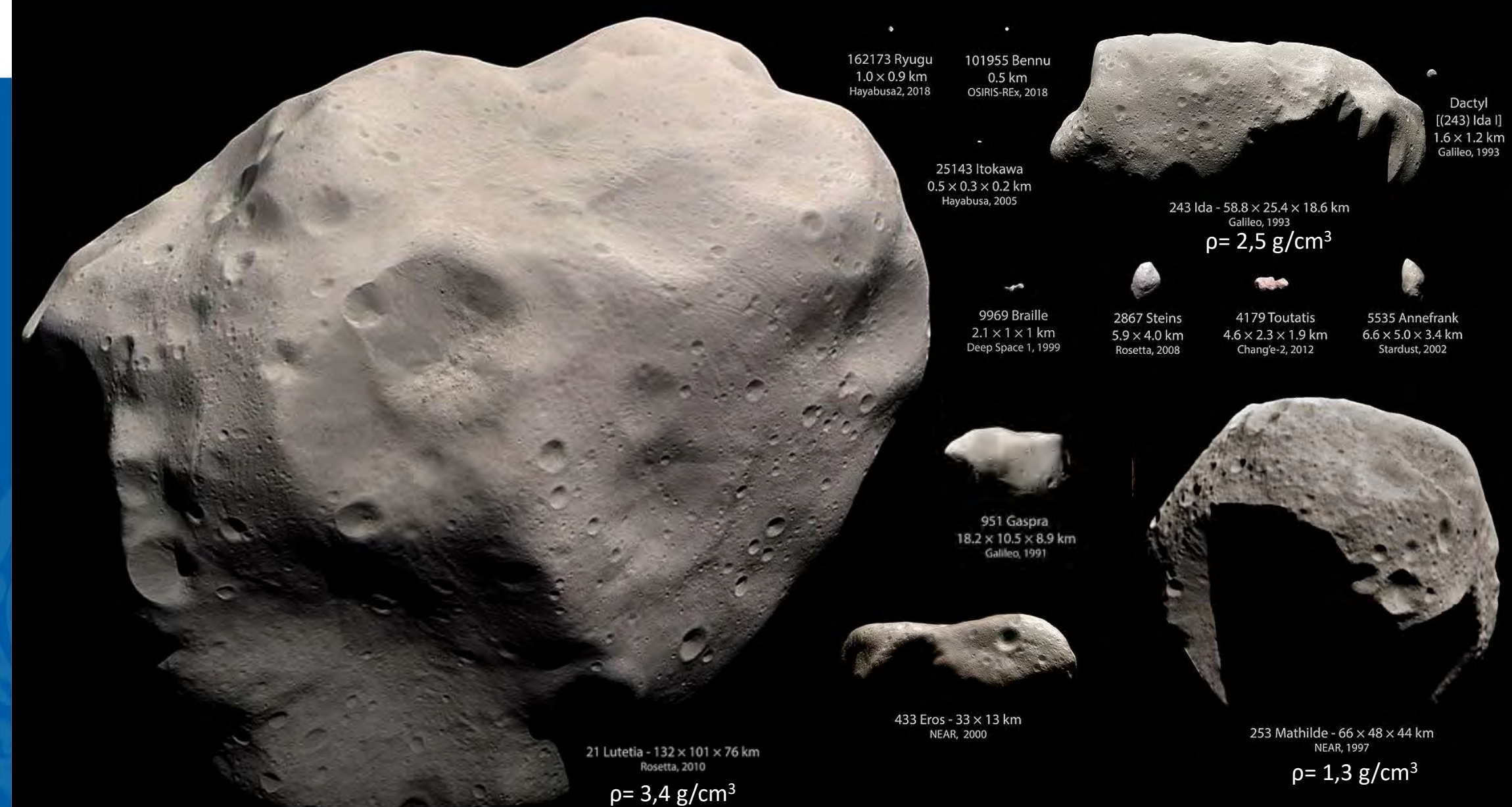




COLLÈGE DE FRANCE



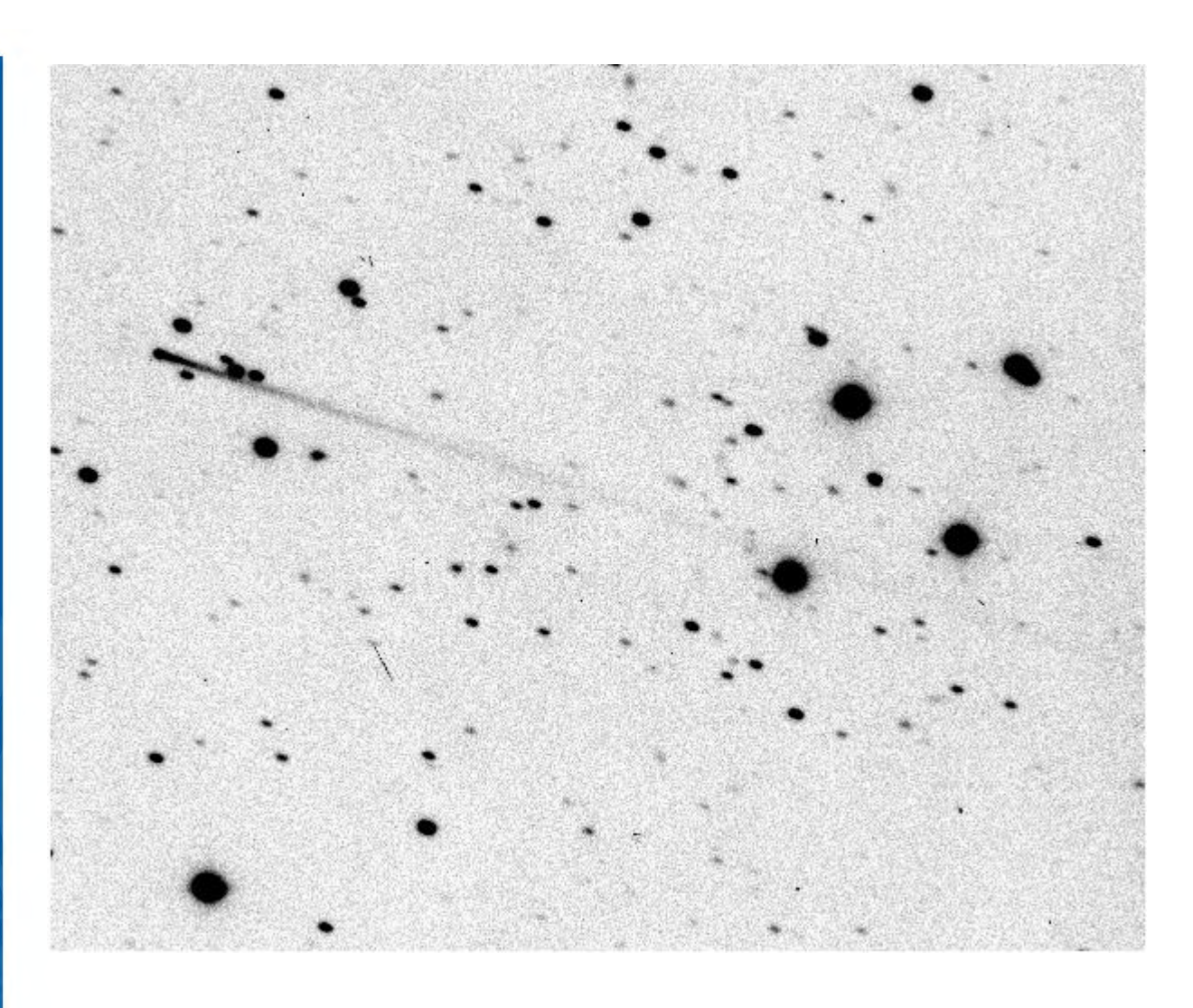
Autres astéroïdes visités par des sondes spatiales



COLLÈGE DE FRANCE



Les comètes de la ceinture principale d'astéroïdes



Astéroïde **7968 Elst-Pizarro**

Éjection de poussières à chaque passage au périhélie

Dégazage détecté, provenant d'une région de 600m de diamètre

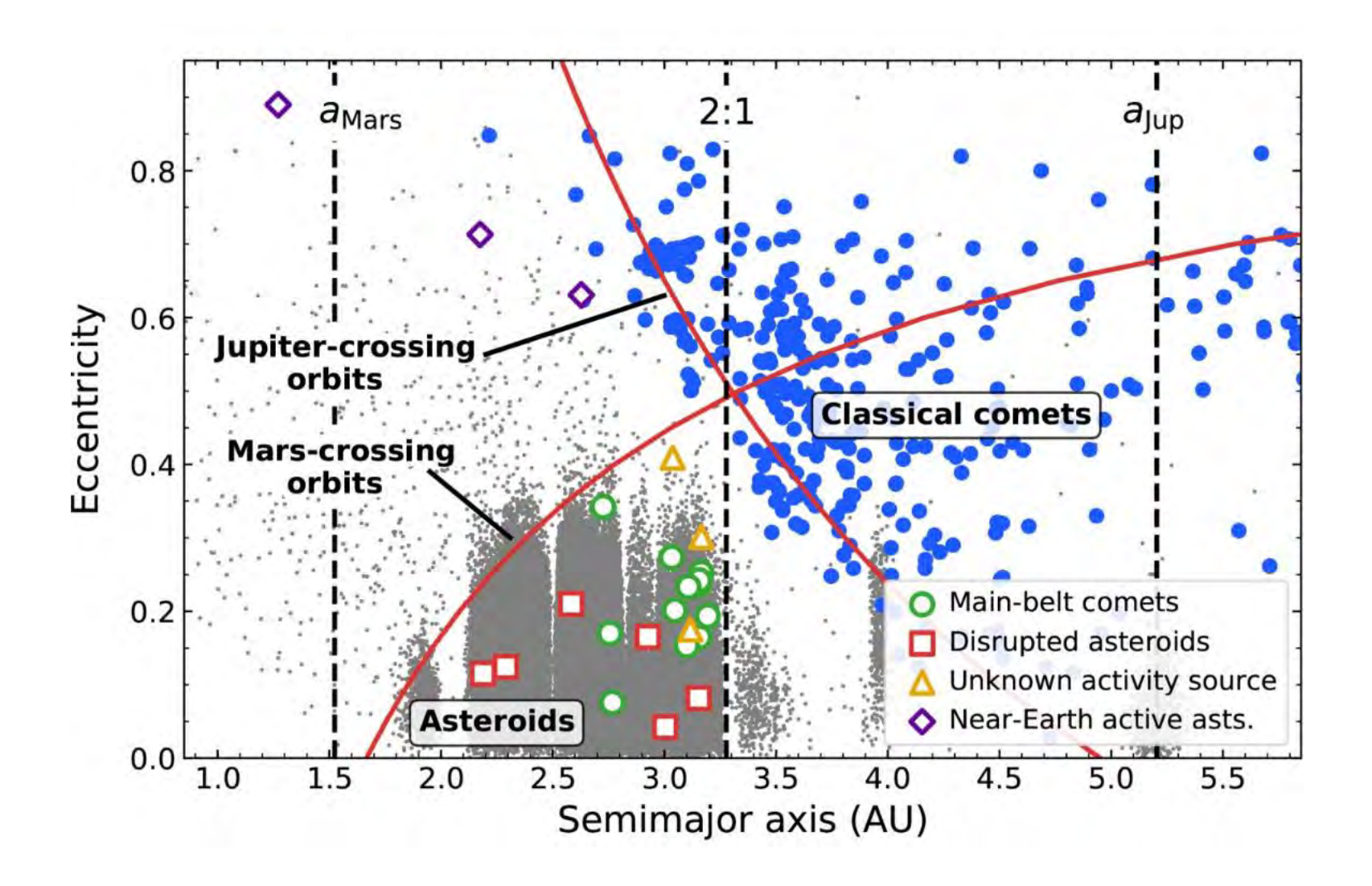
Cet astéroïde contient donc de la glace d'eau sous la surface, qui a été probablement récemment exposée par la formation d'un cratère.

Plusieurs autres astéroïdes sont similaires





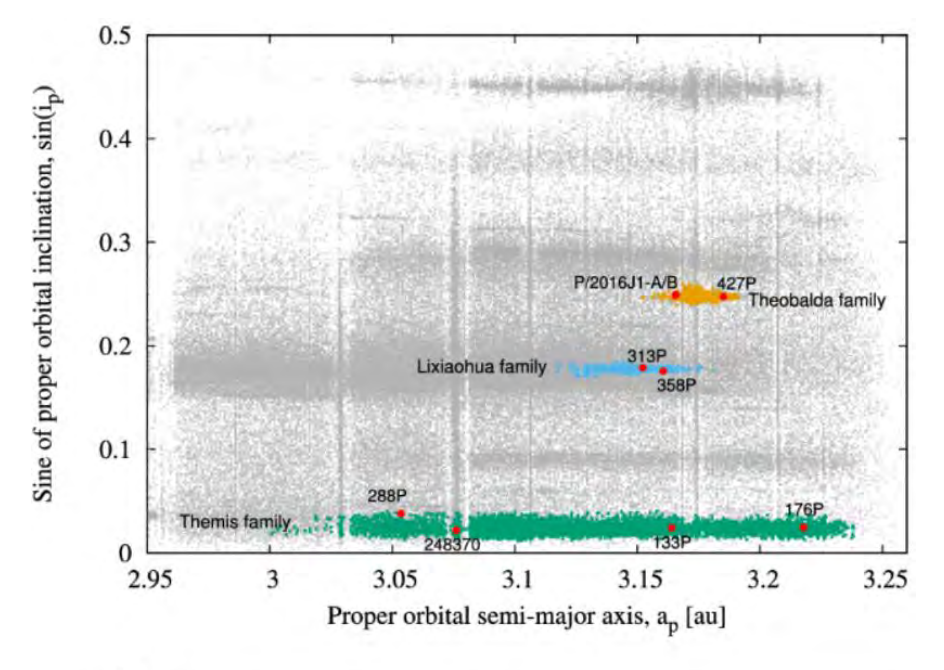
Distribution orbitale des comètes de la ceinture principale

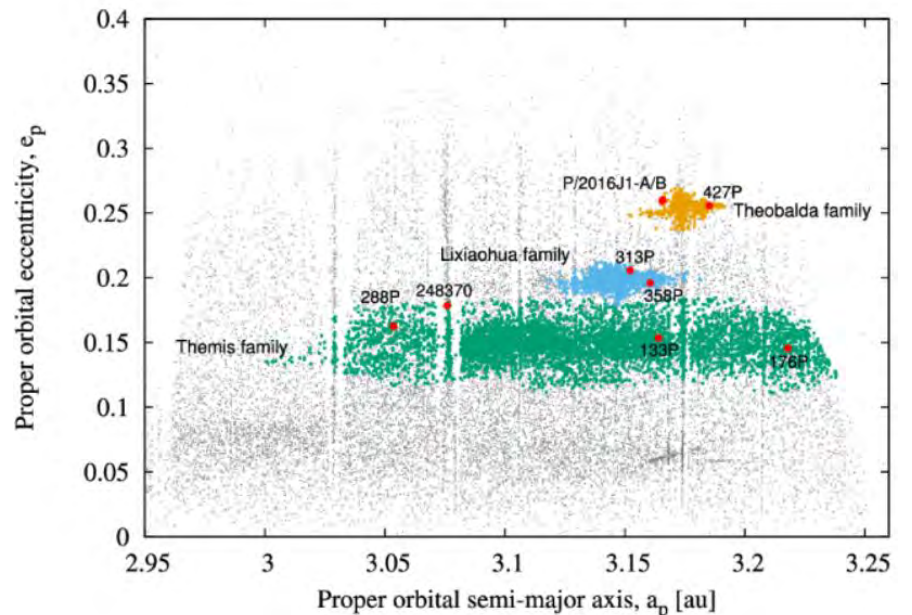




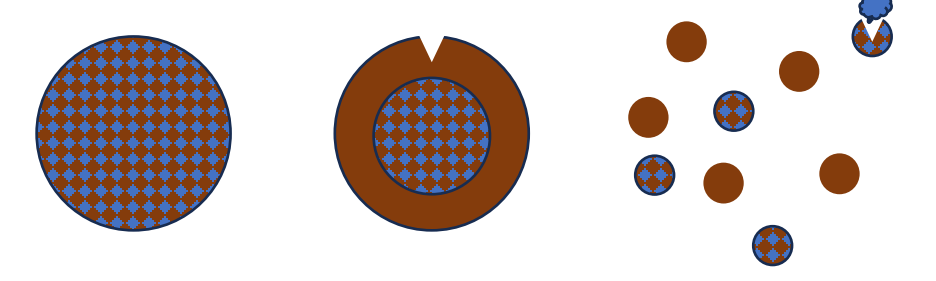


Distribution orbitale des comètes de la ceinture principale





Beaucoup de comètes de la ceinture principale semblent être associées à des familles collisionnelles d'astéroïdes.



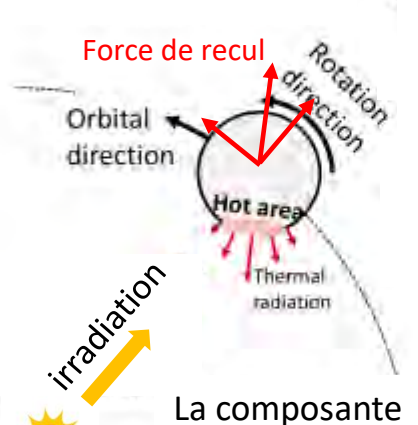
Novakovic et al., 2022



Mobilité radiale des astéroïdes : L'effet Yarkovsky

Effet imaginé par Ivan O. Yarkovsky (1900) un ingénieur russe Redecouvert et appliqué aux mouvements des astéroïdes par D. Rubincam (1995) et P. Farinella (1998)

Rotation prograde



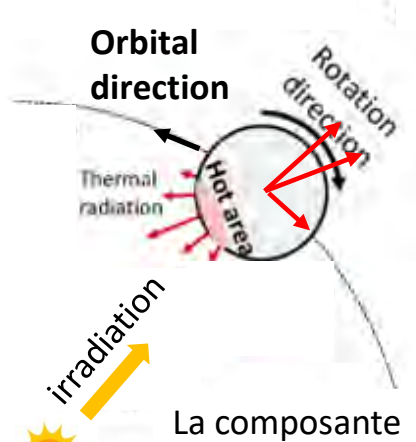
La composante tangentielle de la force de recul est dans la direction du mouvement: accélération orbitale. Orbite en expansion Force de recul $F = \Phi / c$ Φ : puissance du flux thermique c: vitesse de la lumière



Mobilité radiale des astéroïdes : L'effet Yarkovsky

Effet imaginé par Ivan O. Yarkovsky (1900) un ingénieur russe Redecouvert et appliqué aux mouvements des astéroïdes par D. Rubincam (1995) et P. Farinella (1998)

Rotation retrograde

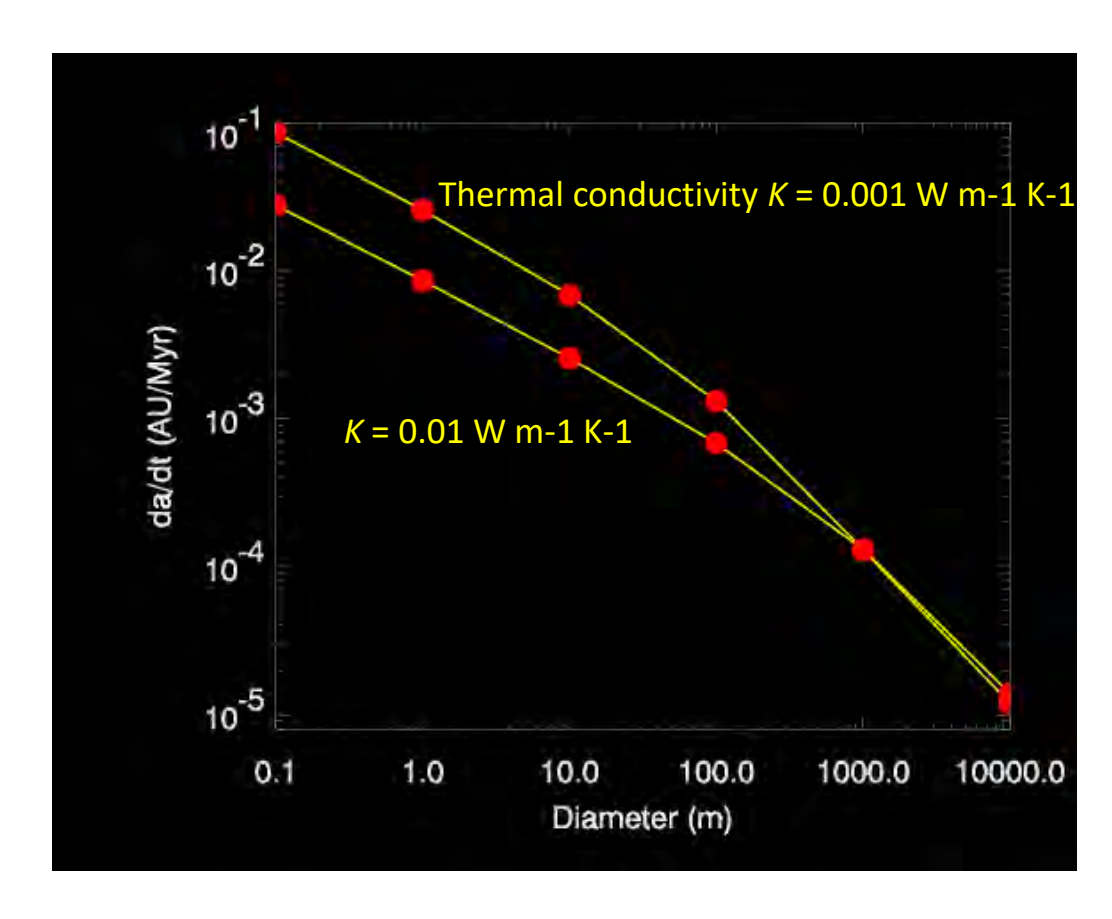


La composante tangentielle de la force de recul est dans la direction opposée au mouvement: décélération orbitale. Orbite en contraction

Force de recul $F = \Phi / c$ Φ : puissance du flux thermique c: vitesse de la lumière



Ampleur de l'effet Yarkovsky



L'ampleur de l'effet Yarkovsky est dépendant:

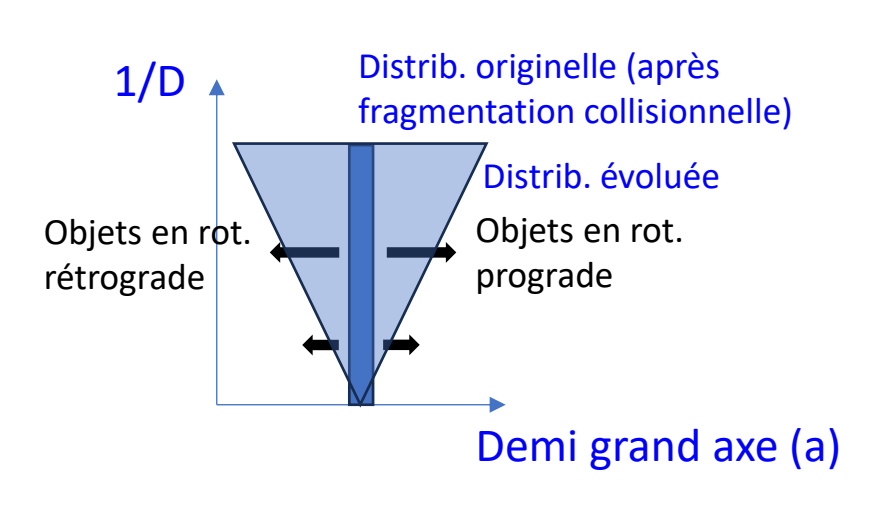
- de la taille des objets (en 1/D ou $1/\sqrt{D}$)
- de leur conductivité thermique
- de leur période de rotation et obliquité

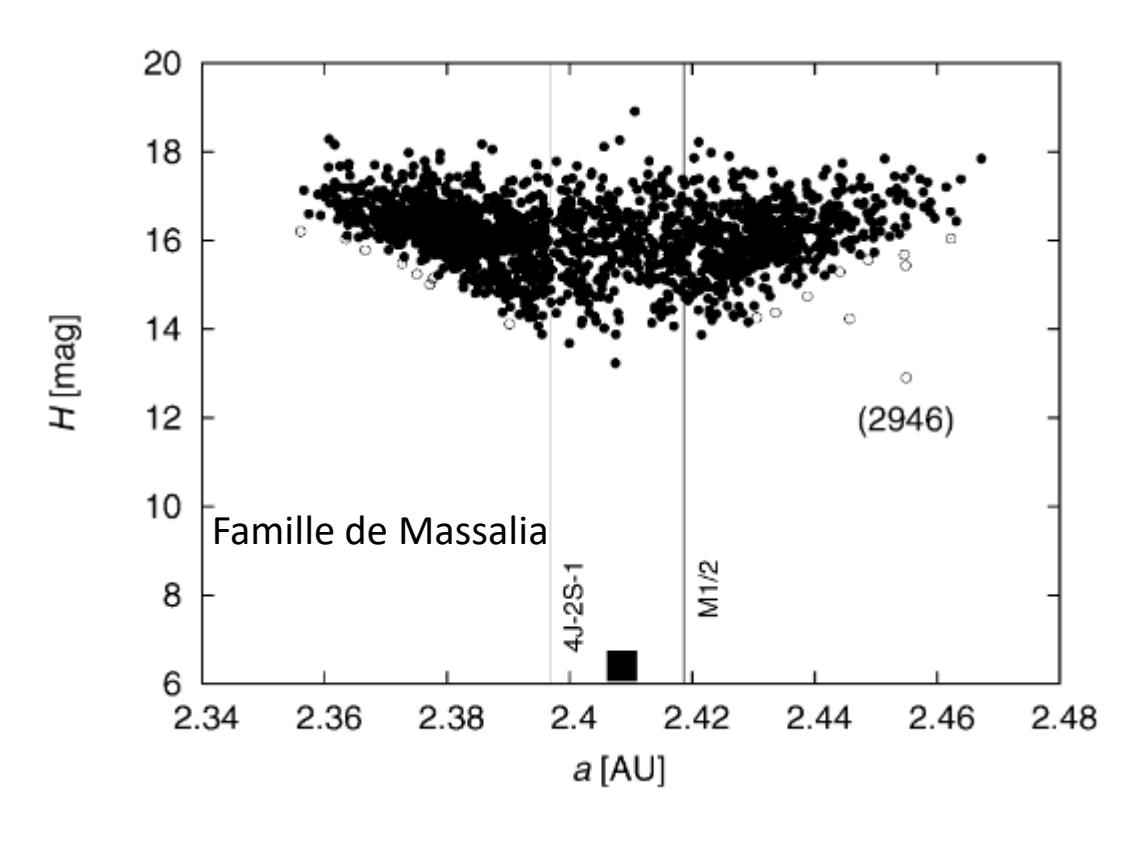




Effet réel ou imaginaire?

Une première preuve: la distribution radiale des familles en fonction de la taille des corps



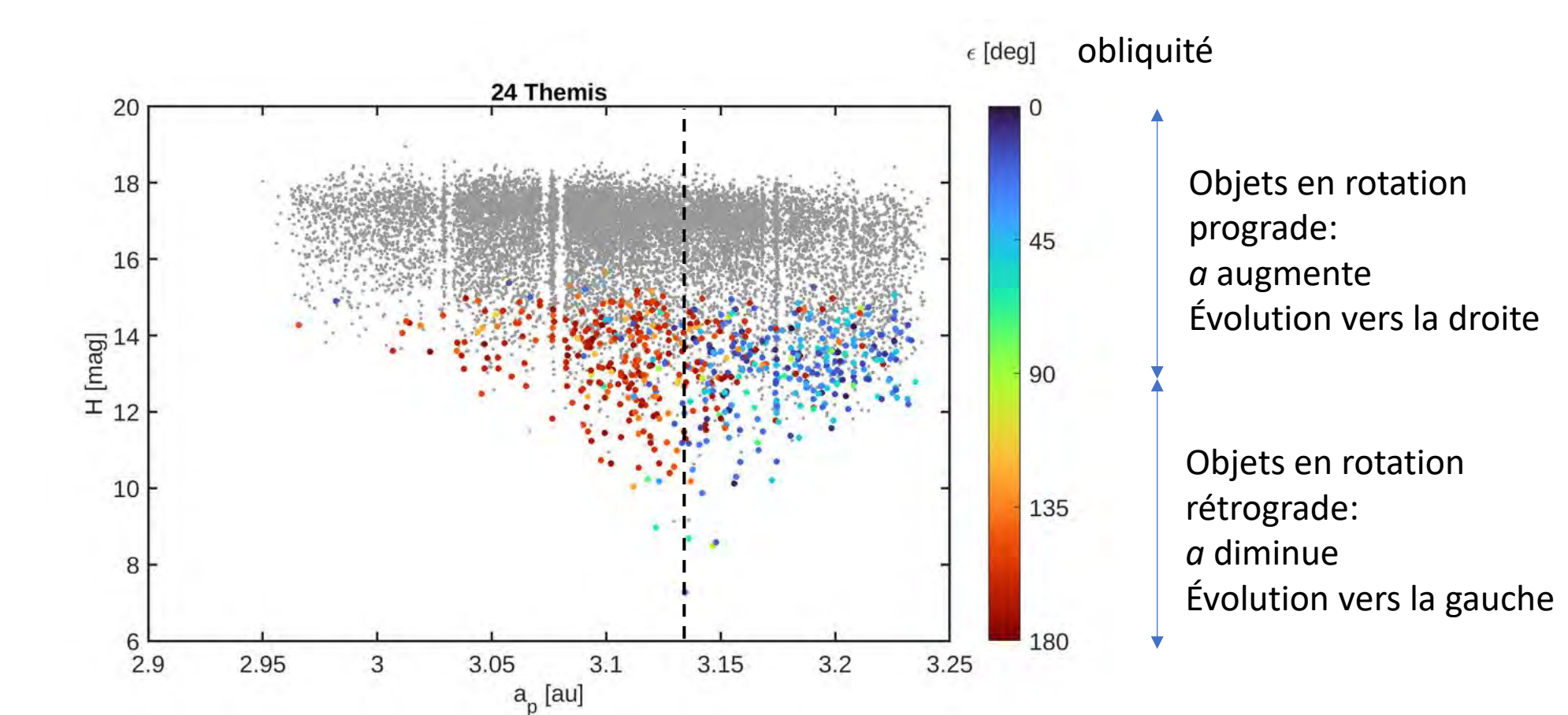


Mais on peut toujours imaginer que la vitesse d'éjection des fragments, qui donne la dispersion initiale de la famille, soit proportionnelle à 1/D.....





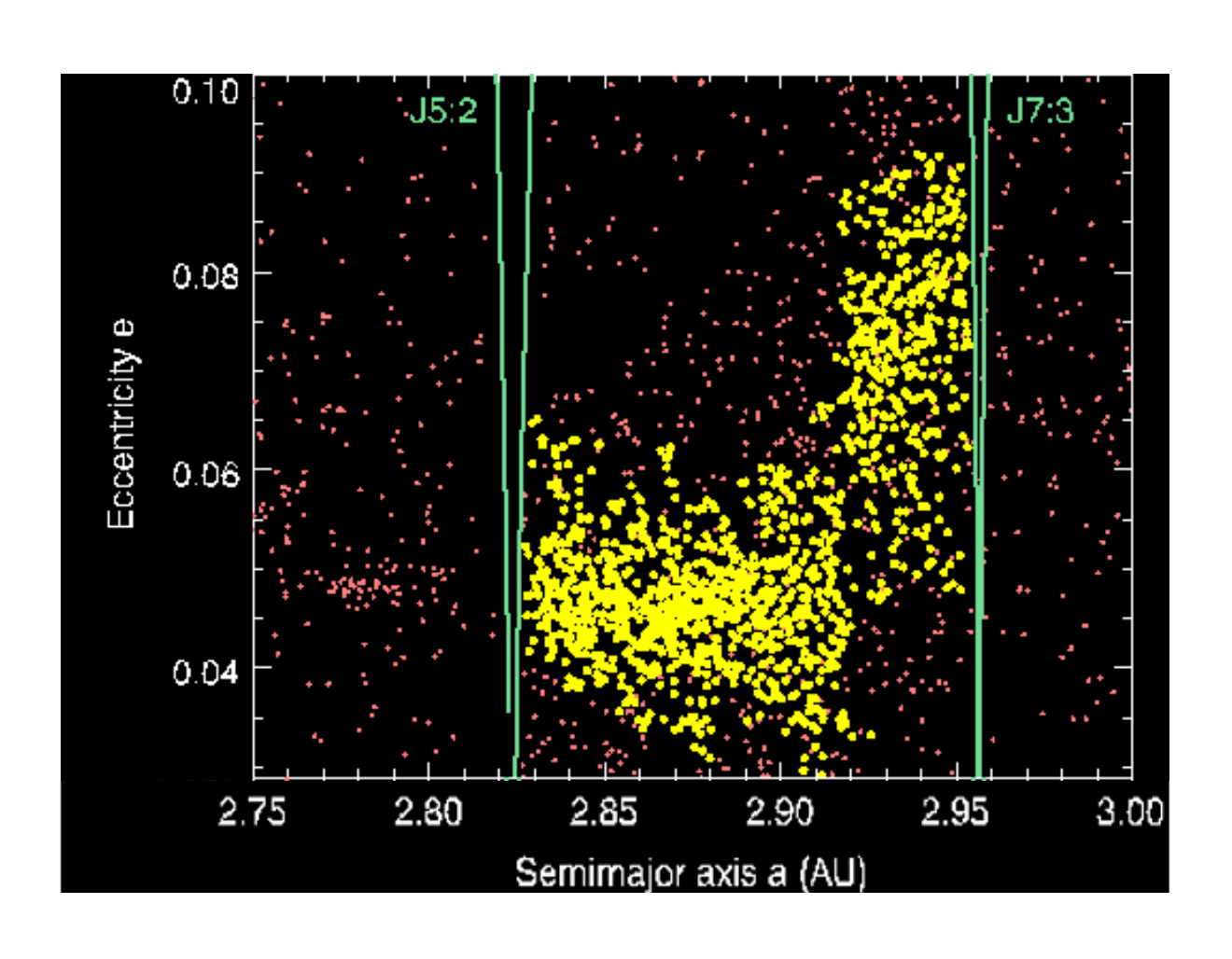
Preuve que la dispersion des familles est due à l'effet Yarkovsky





Effet réel ou imaginaire?

Une preuve définitive: l'étrange distribution orbitale de la famille de Koronis

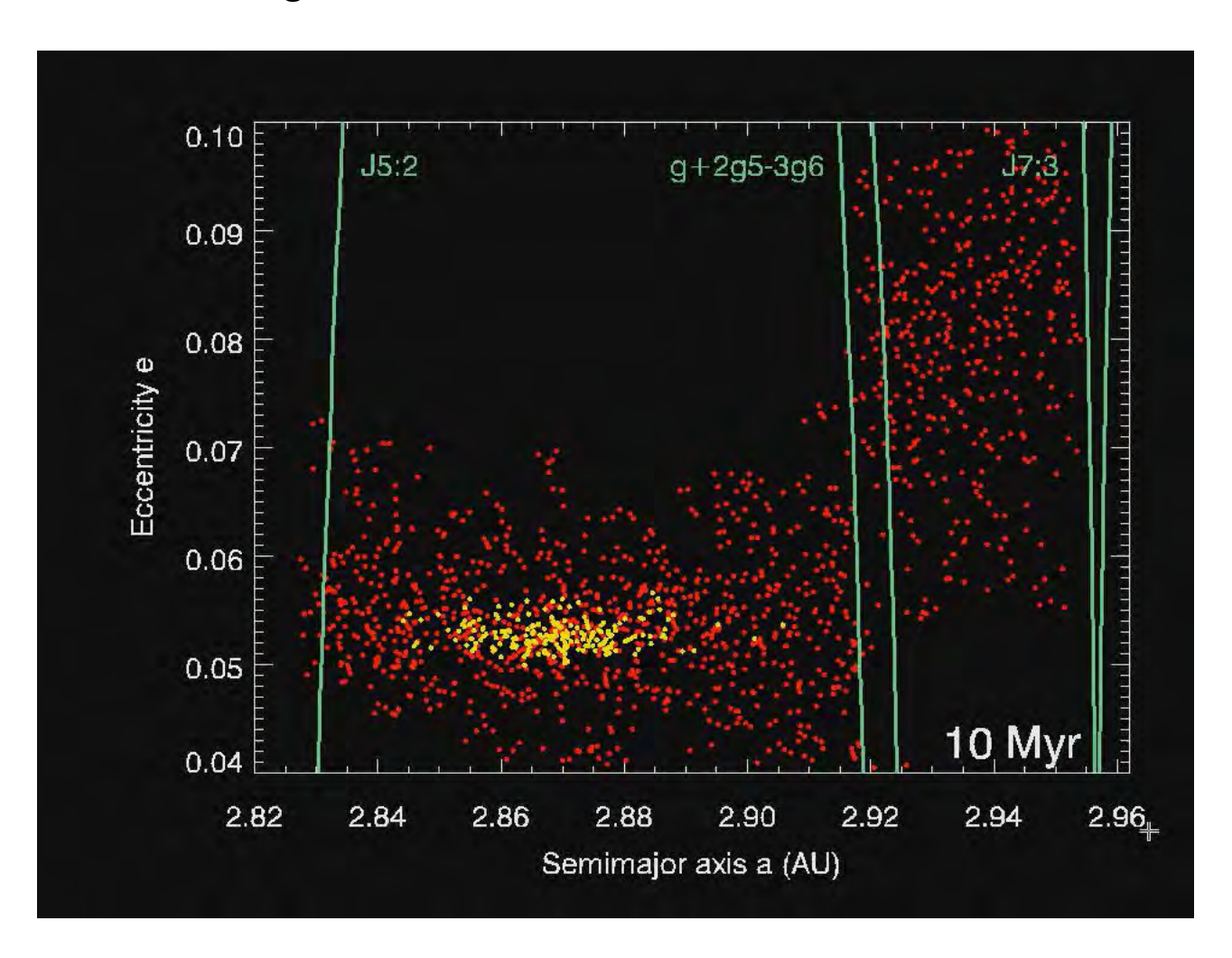






Effet réel ou imaginaire?

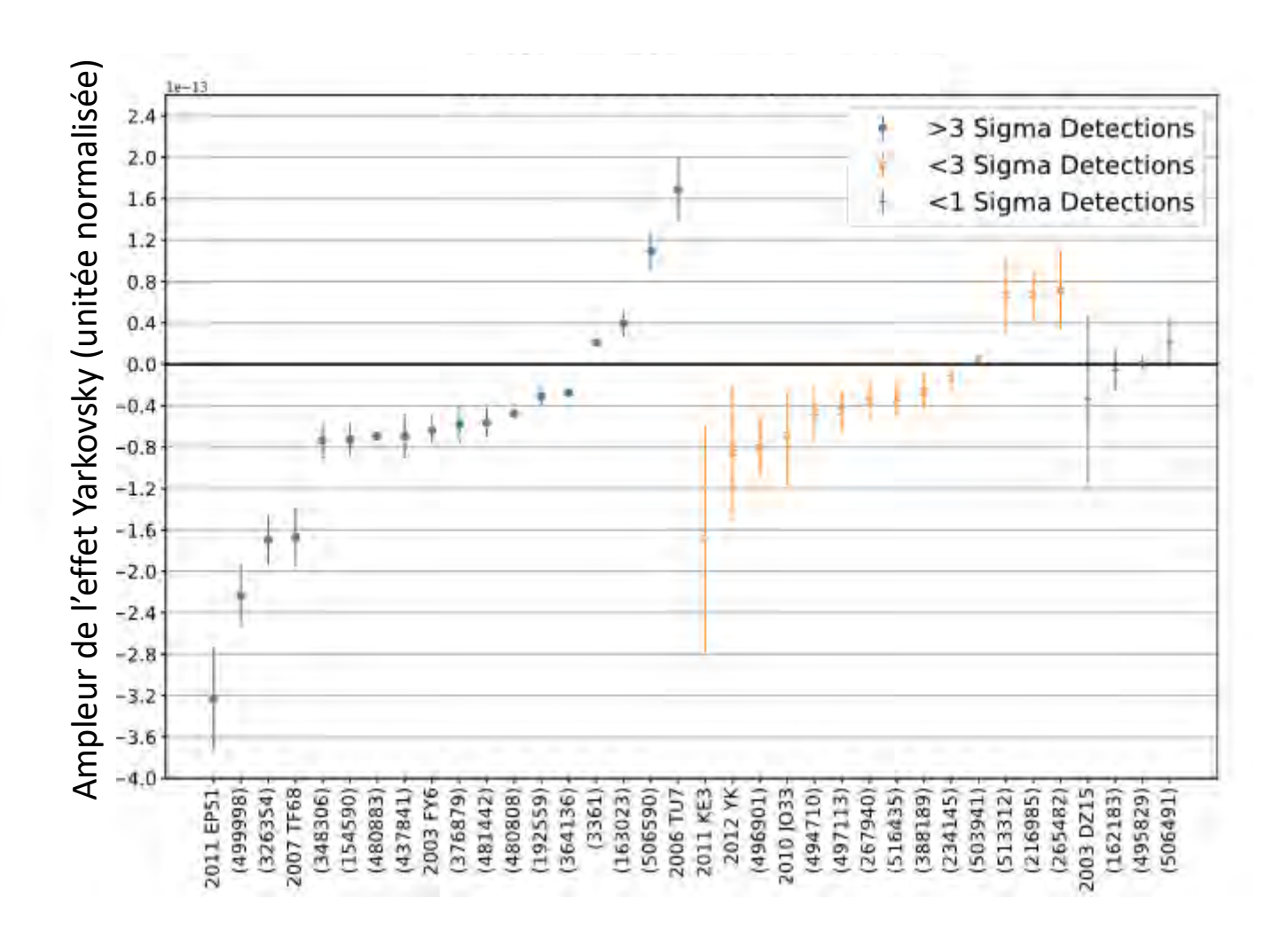
Une preuve définitive: l'étrange distribution orbitale de la famille de Koronis



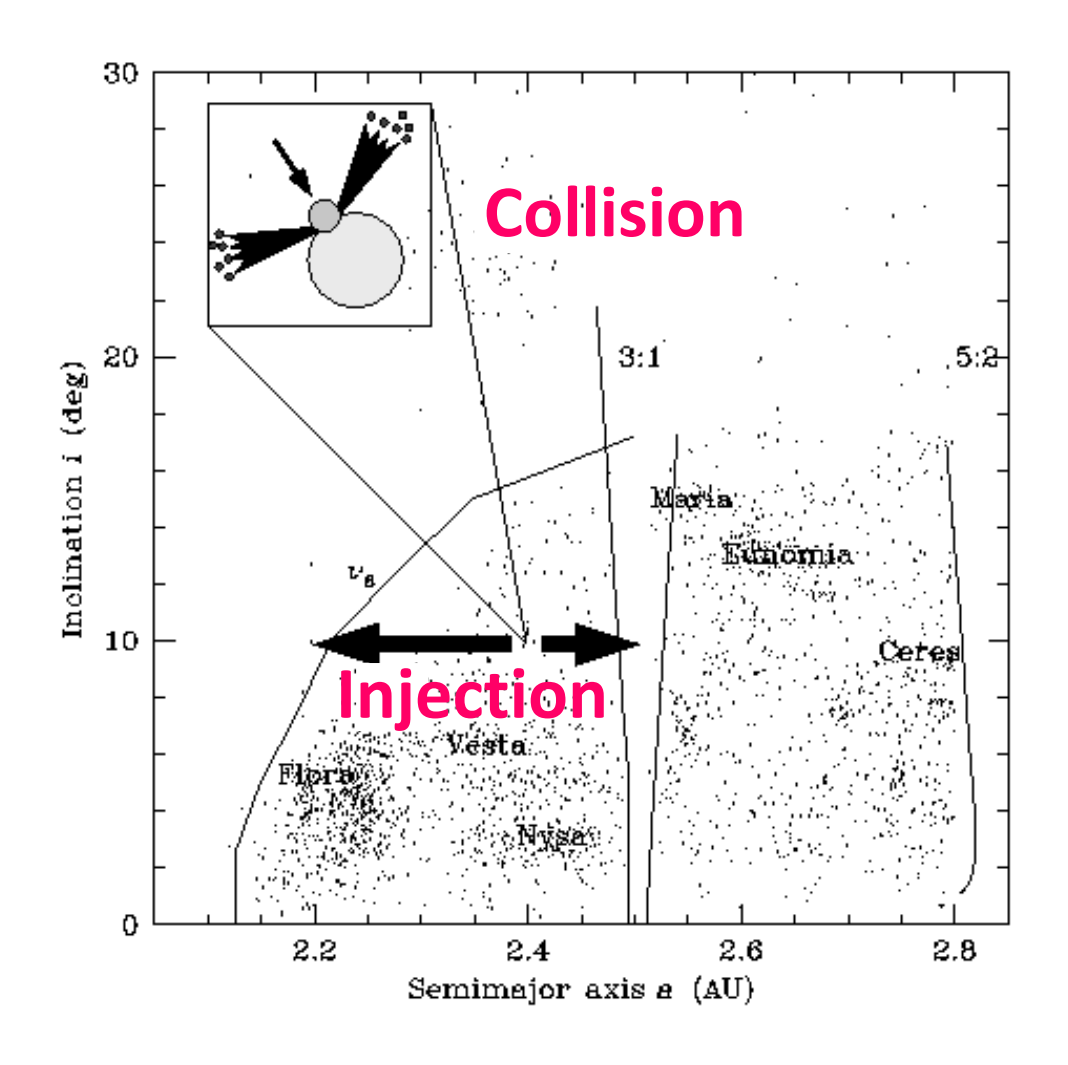
Bottke et al., (2001) Science 294, 1693-1696



Mesures directes de l'effet Yarkovsky

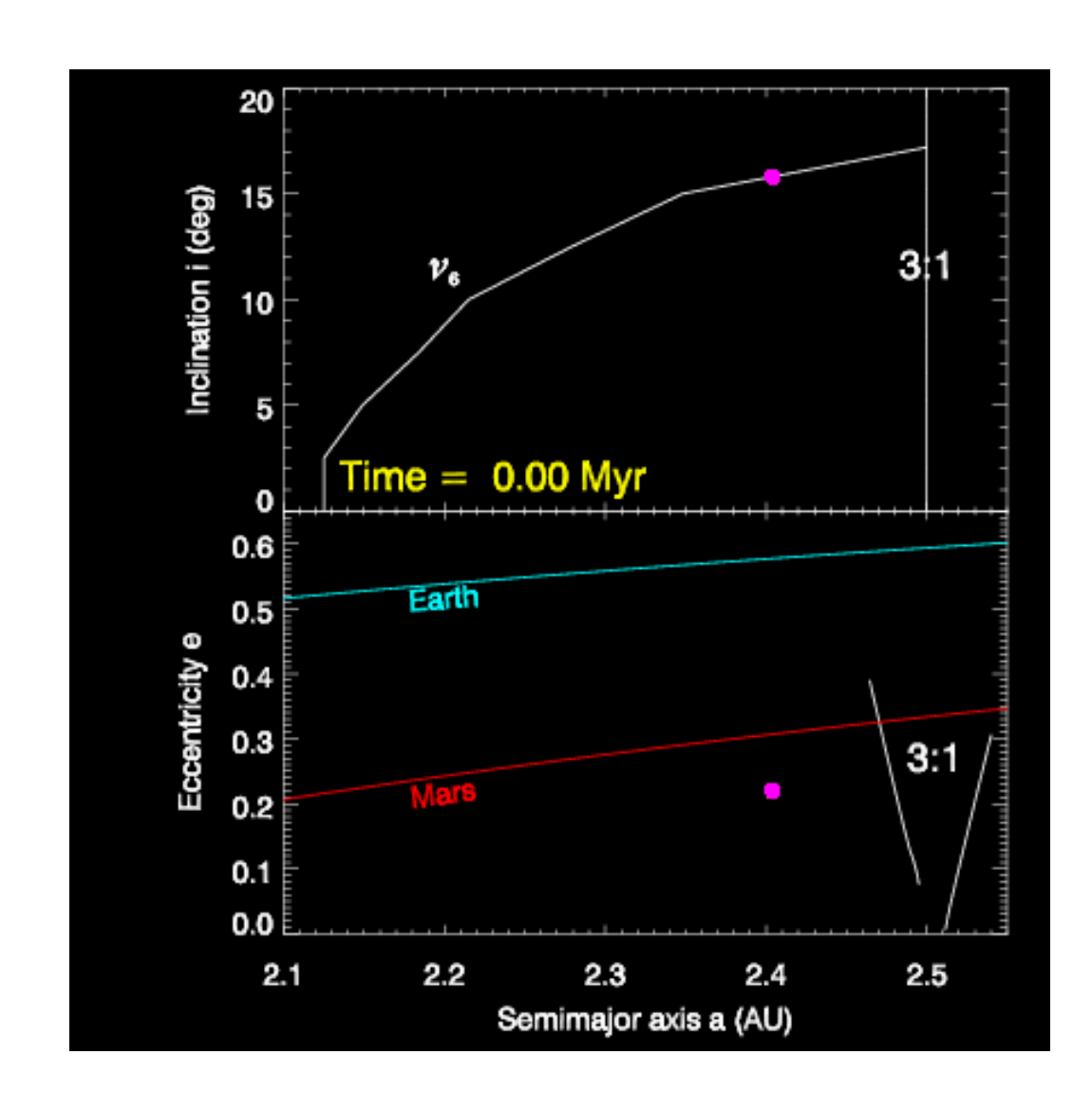






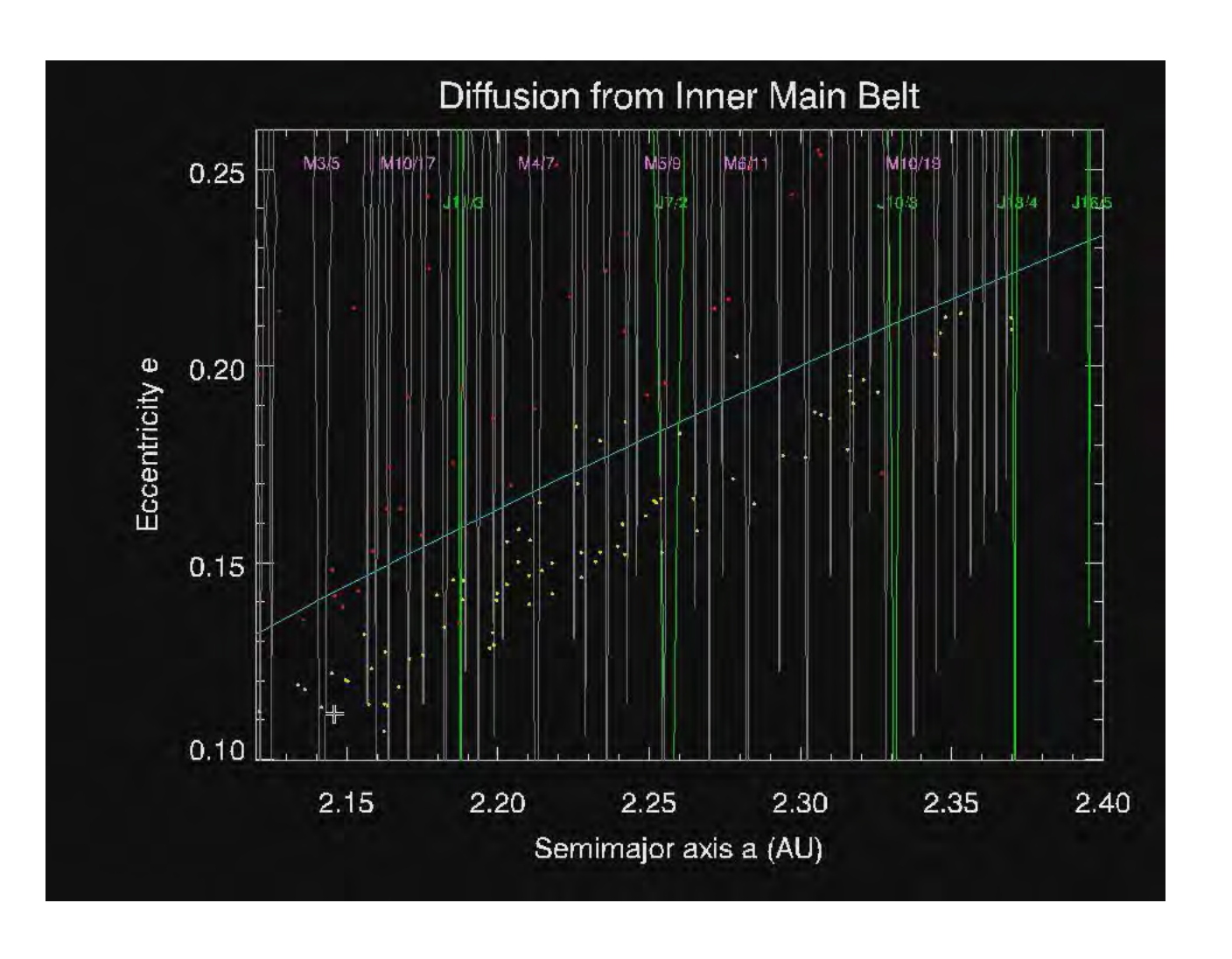








Tout en réseau de résonances "mineures" interagit avec l'effet Yarkovsky pour permettre la fuite d'astéroïdes



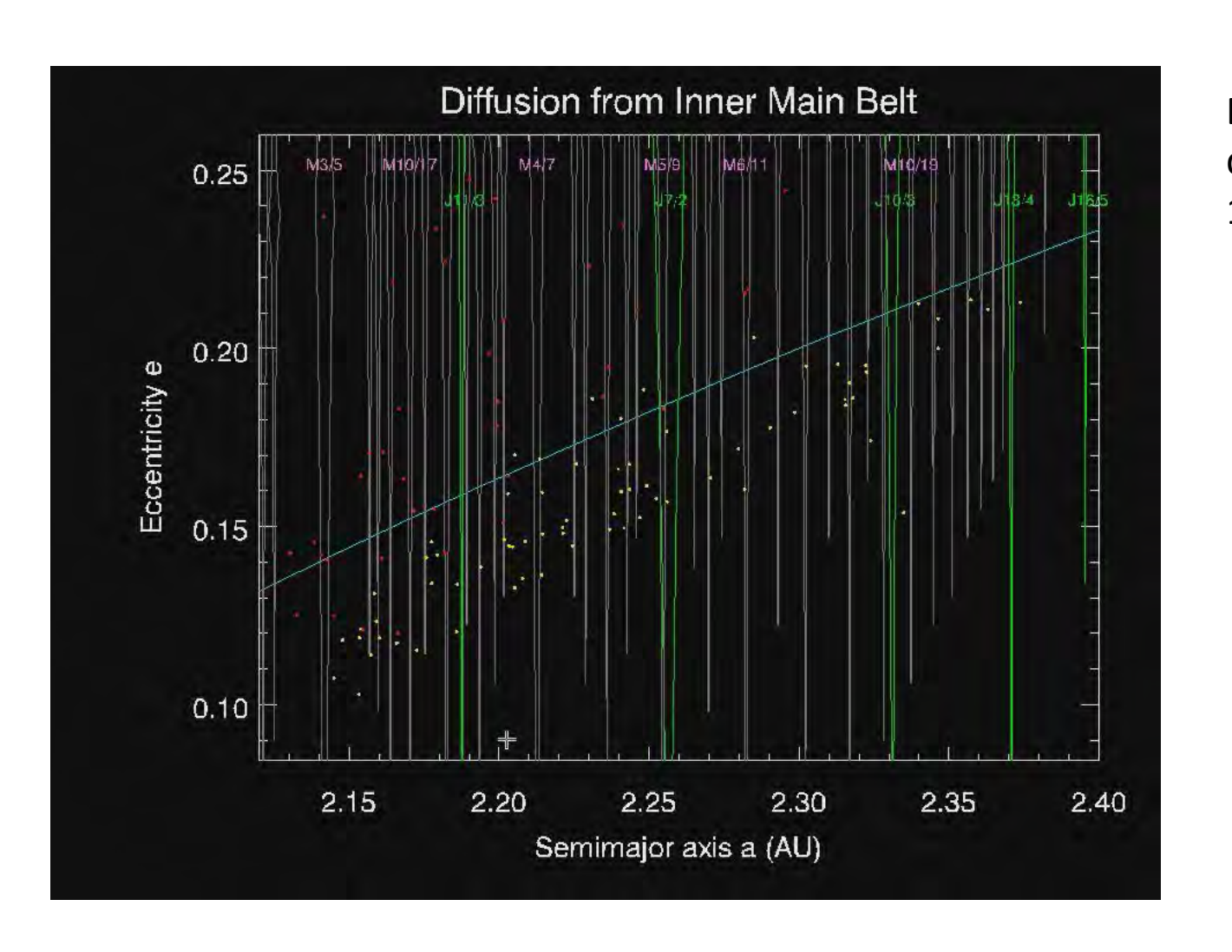
Évolution d'astéroïdes de 1km de diamètre

En jaune: évolution avant la première rencontre proche avec une planète tellurique.

En rouge: après



Tout en réseau de résonances "mineures" interagit avec l'effet Yarkovsky pour permettre la fuite d'astéroïdes



Évolution d'astéroïdes de 100m de diamètre

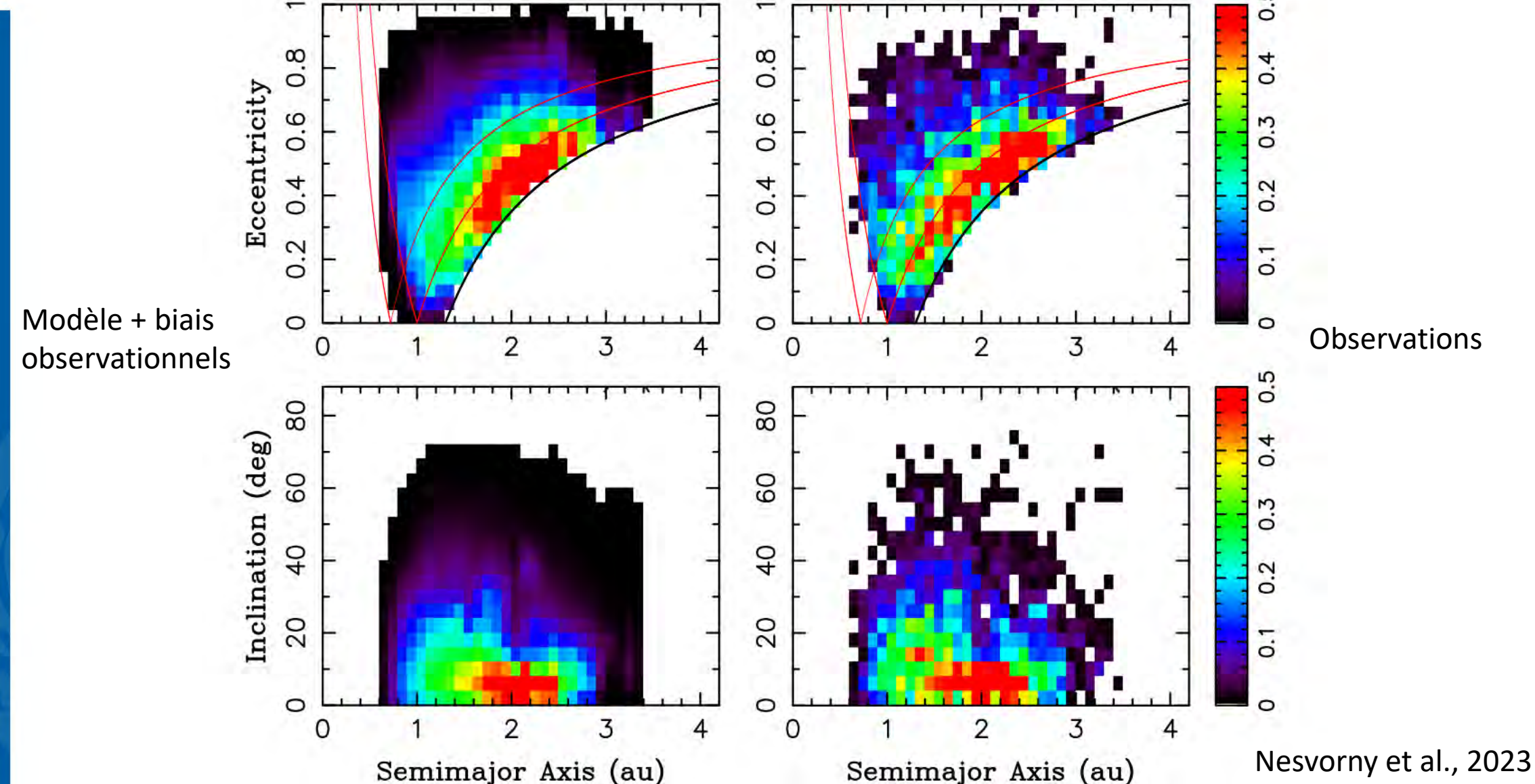
En jaune: évolution avant la première rencontre proche avec une planète tellurique.

En rouge: après





Distribution orbitale des astéroïdes géocroiseurs maintenue en état stationnaire par la fuite d'astéroïdes de la ceinture principale via l'effet Yarkovsky



COLLÈGE
DE FRANCE



A retenir

- Les astéroïdes sont des corps rocheux, sans glace à leur surface, mais souvent avec des signatures d'altération aqueuse, parfois avec de la glace à l'intérieur, situés principalement entre Mars et Jupiter (ceinture principale)
- La ceinture principale est bornée aussi par des résonances séculaires et de moyen mouvement.
- L'astéroïde le plus grand est Cérès (presque 1.000 km). Il y a environs 2x10⁶ objets avec D > 1 km
- Les objets plus petits que 10 km sont à l'équilibre collisionnel car leur vie collisionnelle est plus courte de l'âge du Système solaire.
- Les familles d'astéroïdes sont les traces évidentes de collisions catastrophiques qui ont eu lieu dans la ceinture principale.
- Il y a une multitude de classes spectroscopiques d'astéroïdes. Mais en gros on peut partager les astéroïdes en deux groupes: ceux sombres, riches en carbone (classes C, B, D, ...) et ceux plus réfléchissants, riches en olivine et pyroxène (S). Il y a aussi des astéroïdes couverts de basaltes (V), métalliques (X) etc.
- Les astéroïdes de classes spectrales différentes sont bien mélangés. Mais il y a néanmoins une tendance à avoir plus d'objets S dans la partie interne de la ceinture et plus d'objets C/D dans la partie externe.
- Cérès et Vesta sont des corps très différents: riche en minéraux hydratés le premier, différencié et couvert de basaltes le deuxième.
- L'effet Yarkovsky est dû à la réémission thermique des astéroïdes. Il permet la dérive lente des astéroïdes en demi-grand axe.
- Il a un effet sur la dispersion des familles collisionnelles et permet aux objets d'atteindre des résonances et devenir géocroiseurs.

